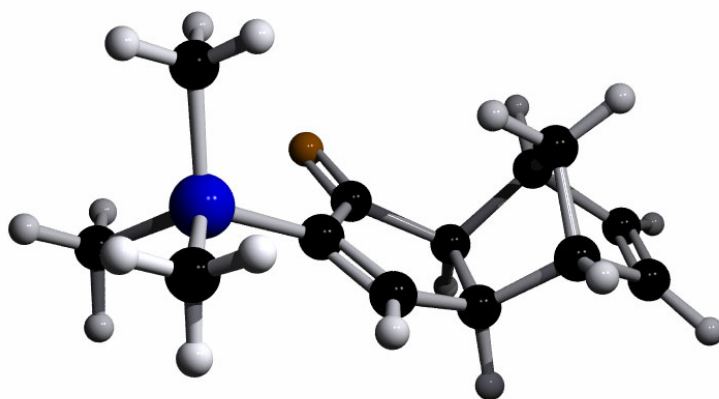


Tesi doctoral

Departament de Química Orgànica

**“Aplicacions sintètiques dels adductes de
Pauson-Khand del norbornadiè. Aproximació a
la síntesi de prostaglandines i fitoprostans.”**



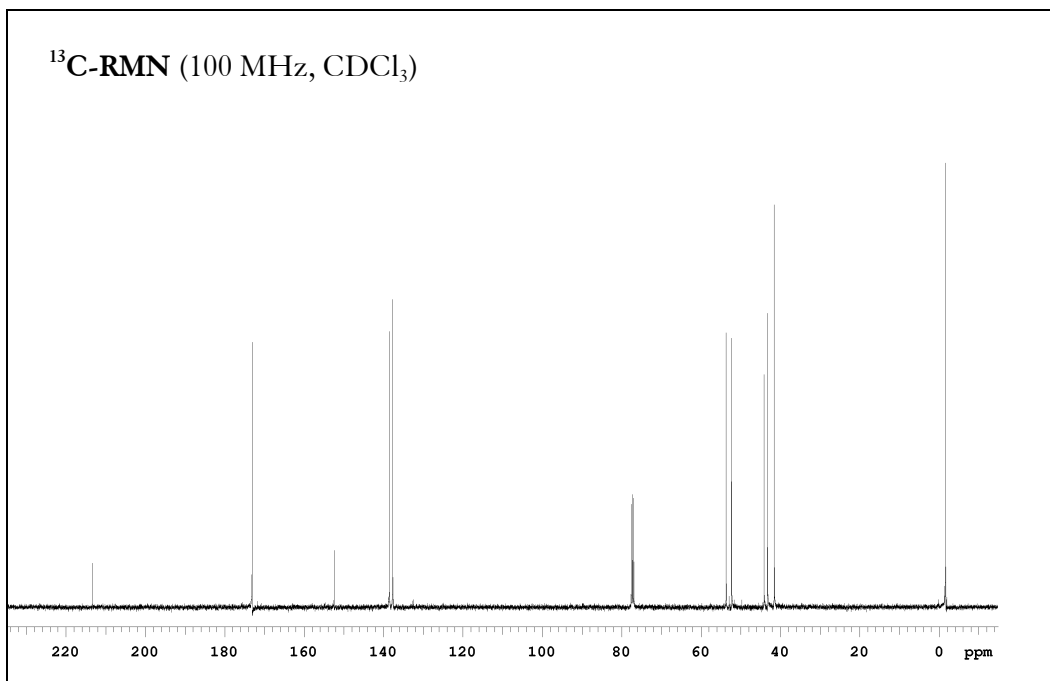
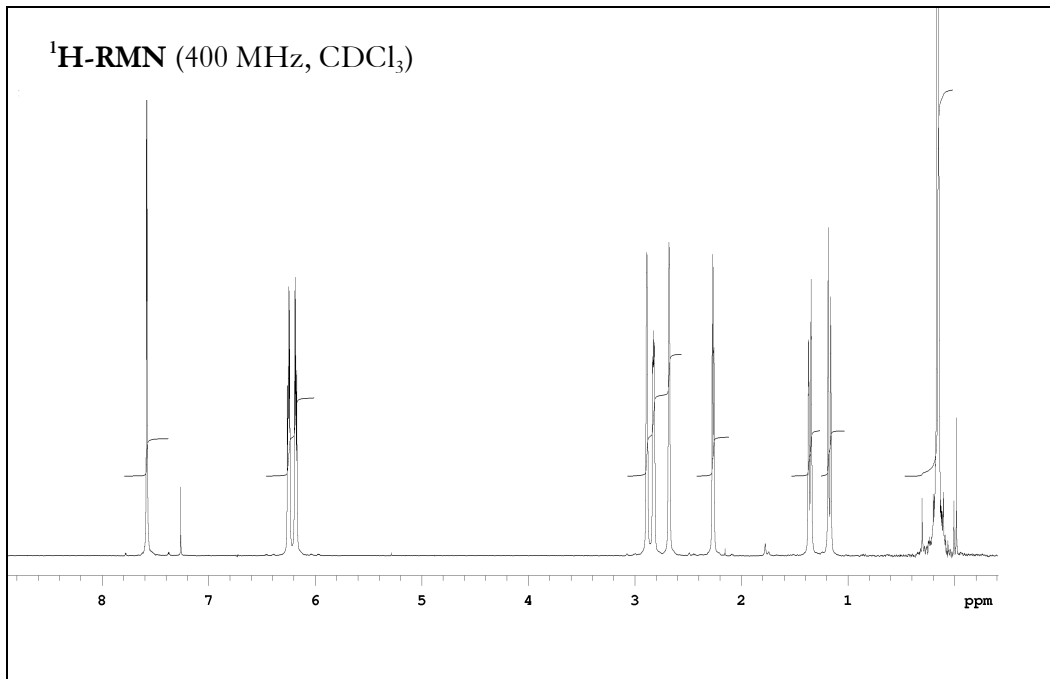
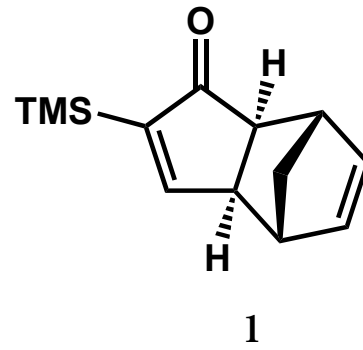
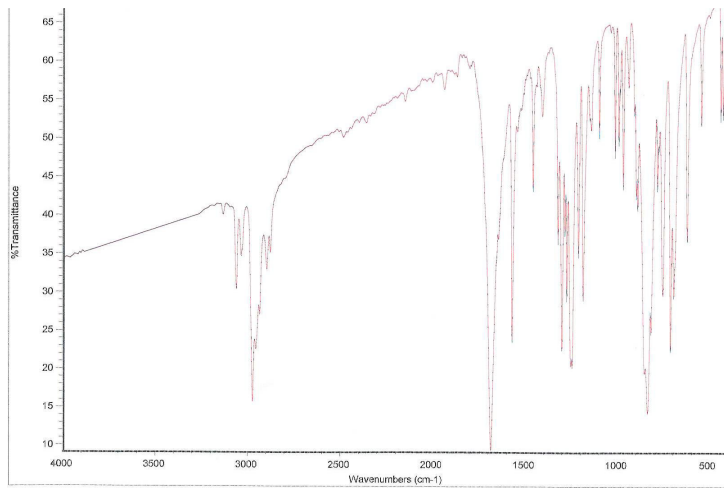
Agustí Lledó Ponsati

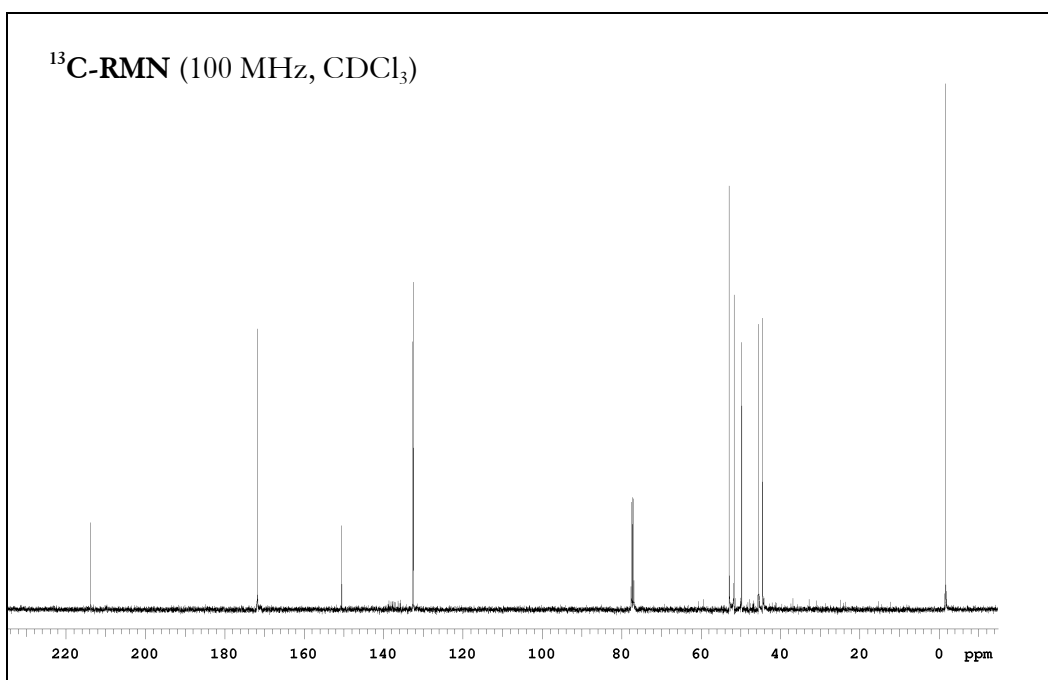
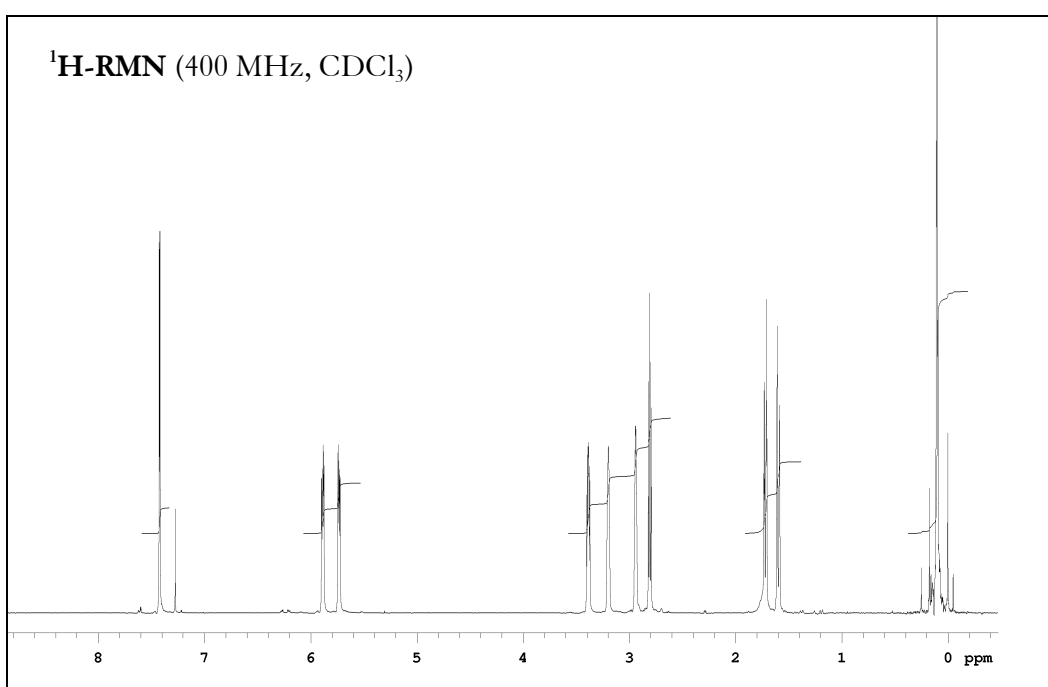
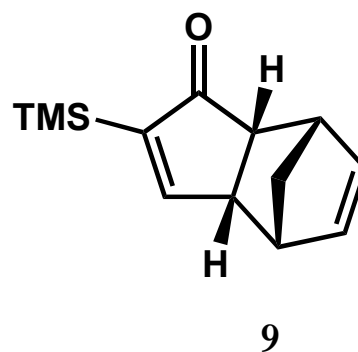
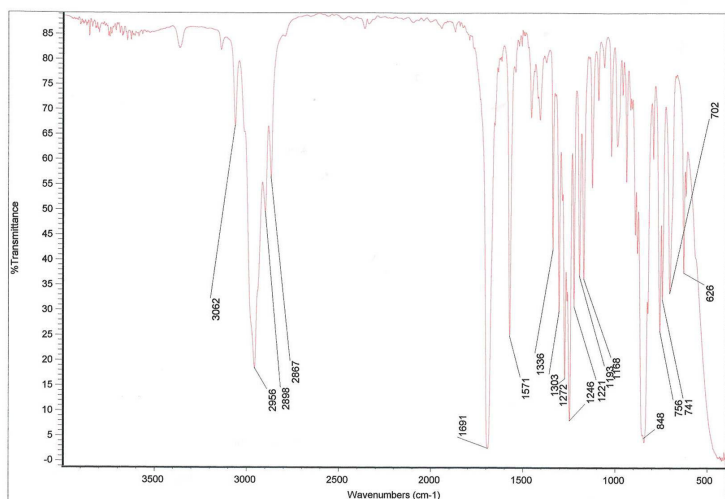


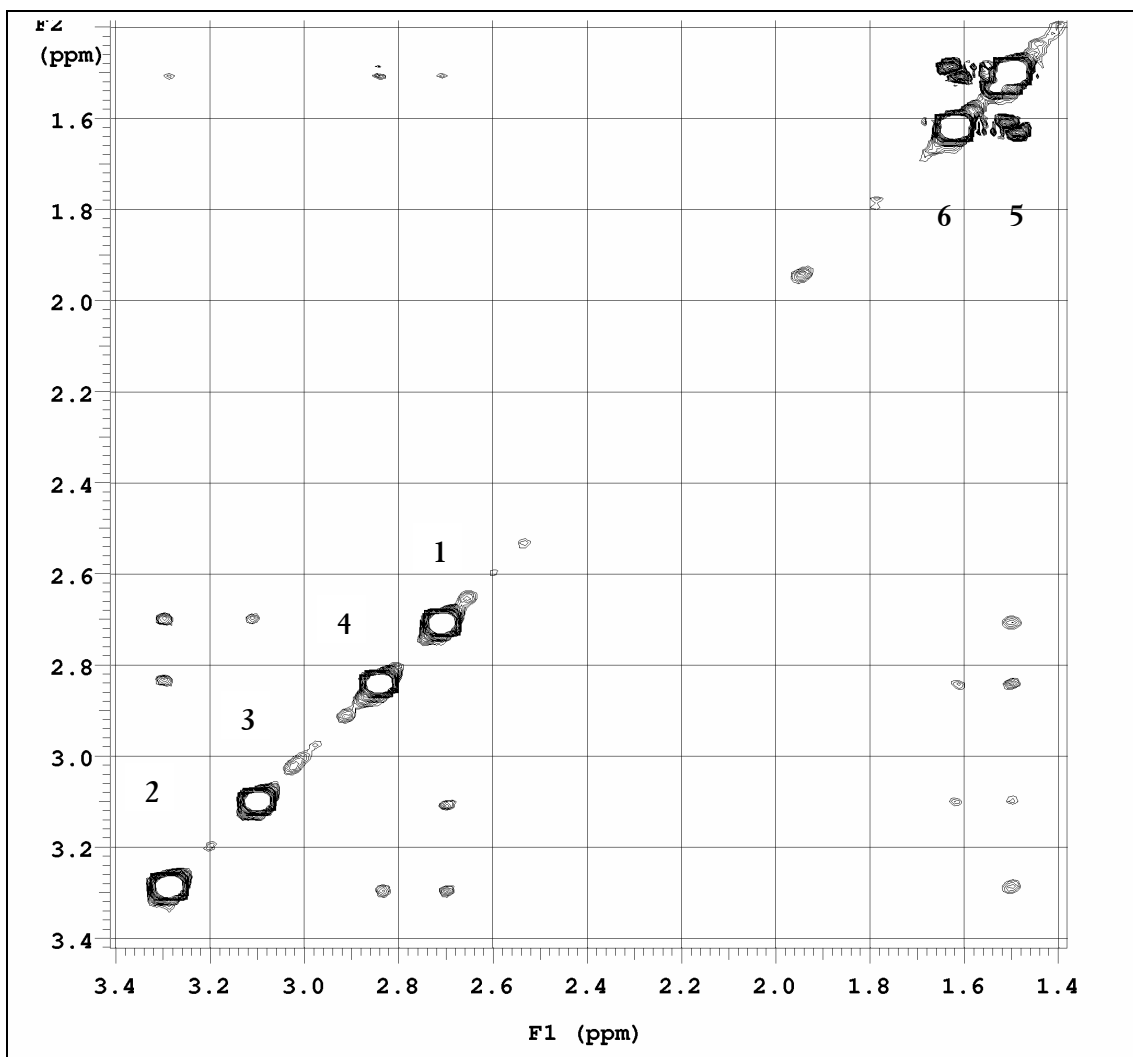
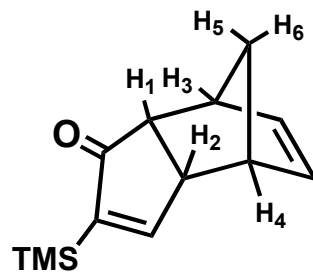
UNIVERSITAT DE BARCELONA

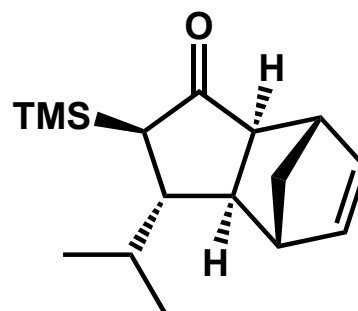
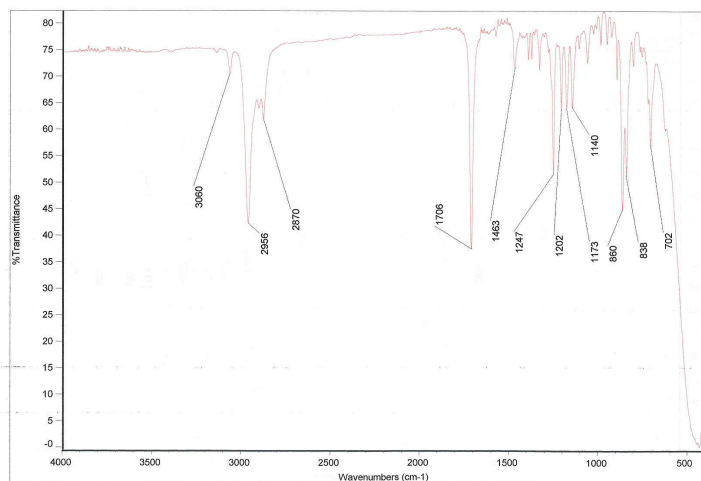


10. Selecció d'espectres

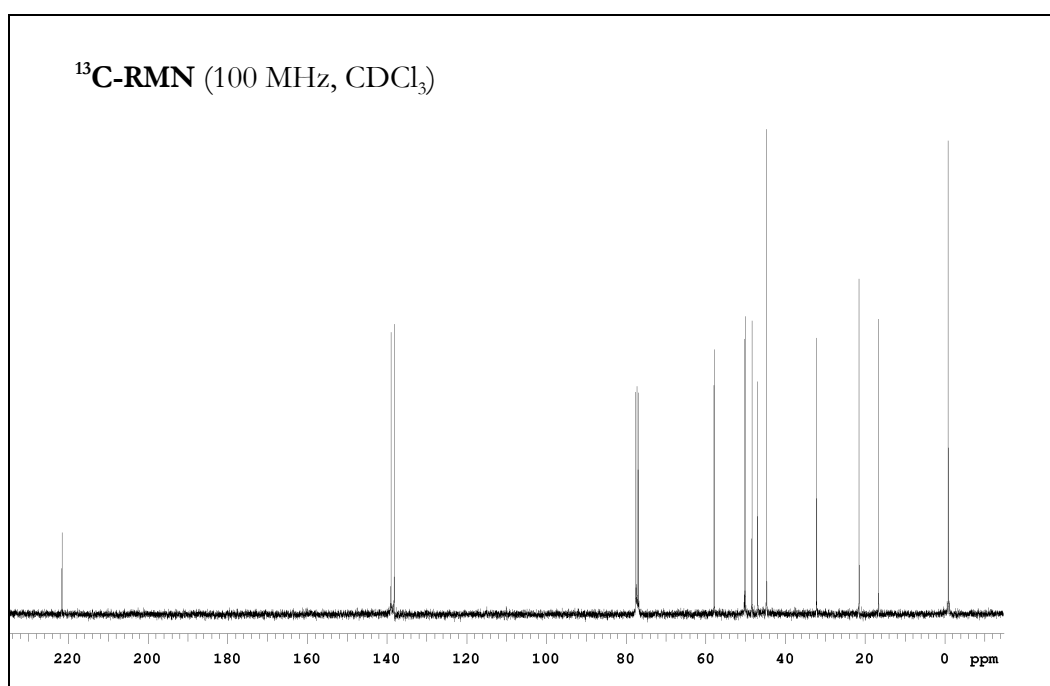
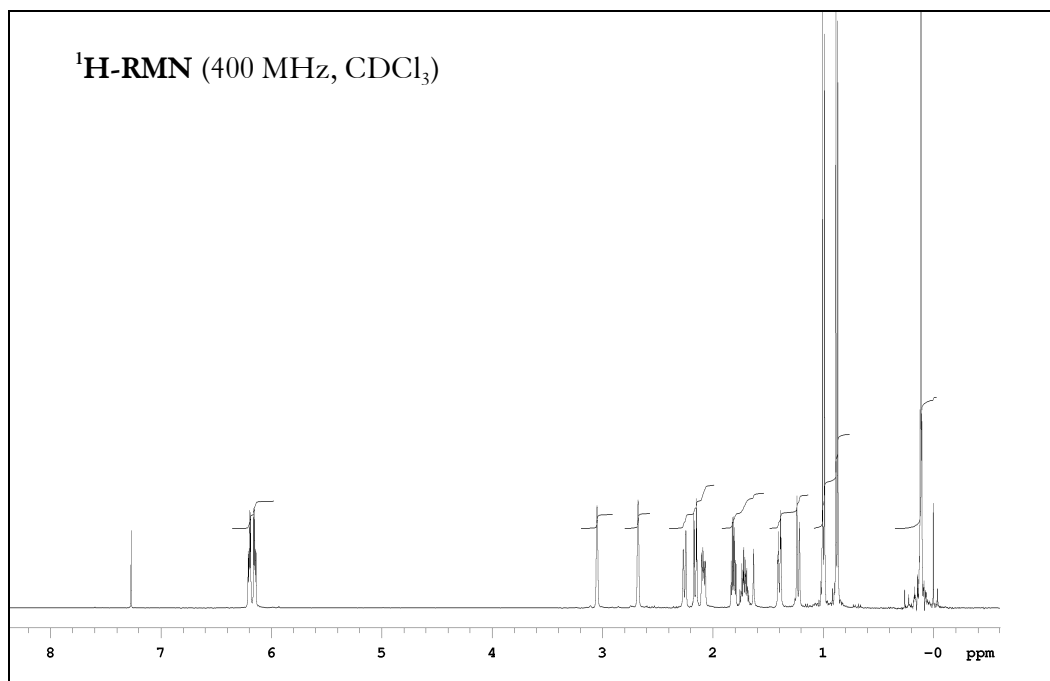


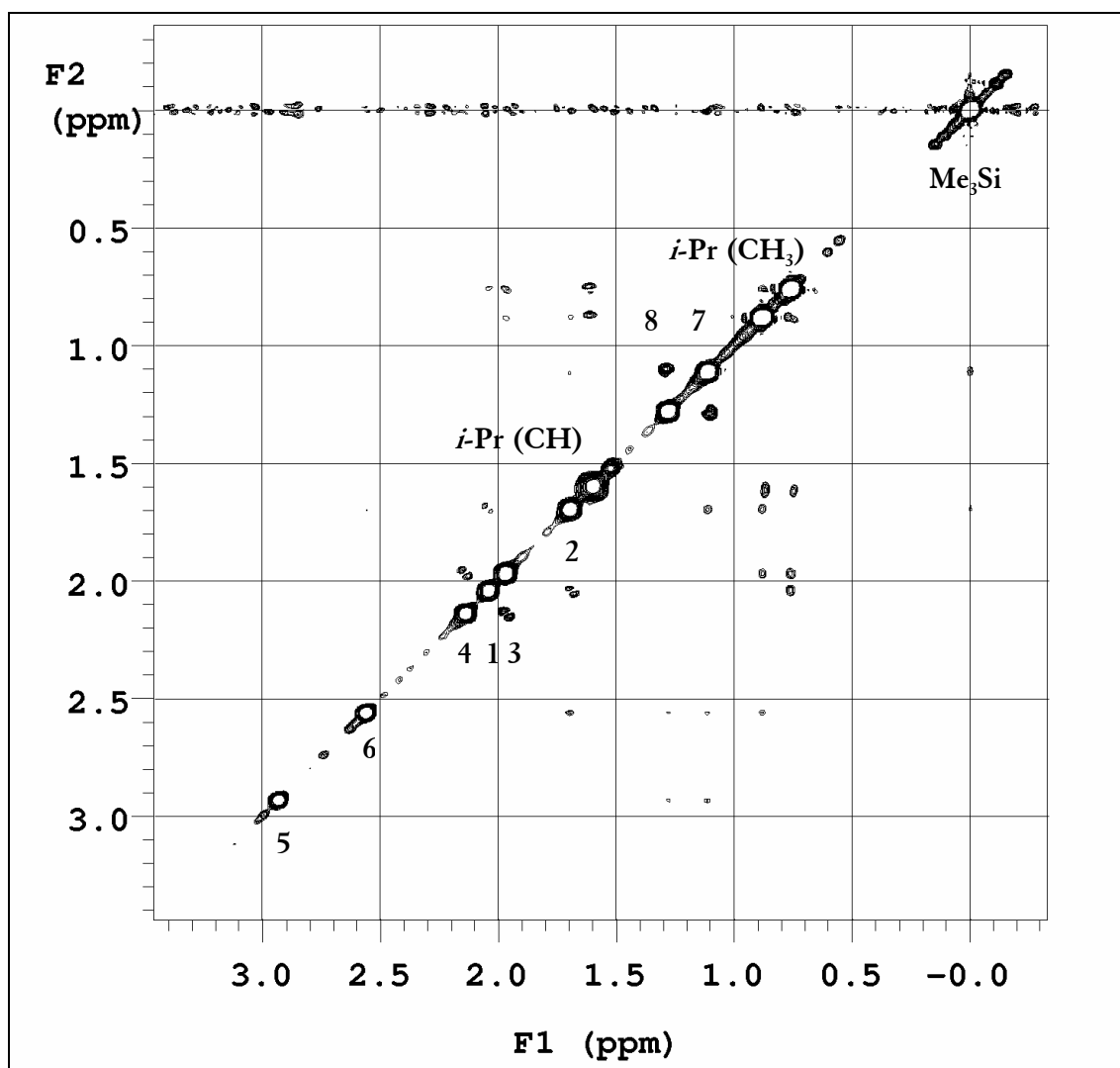
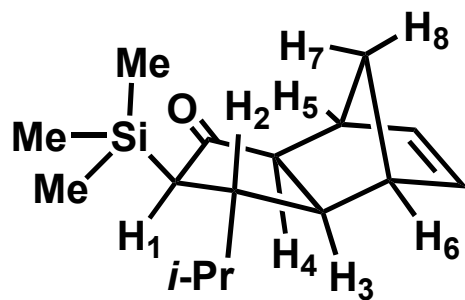


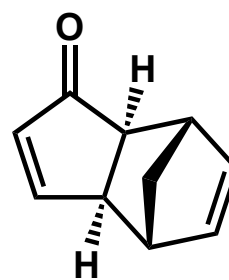
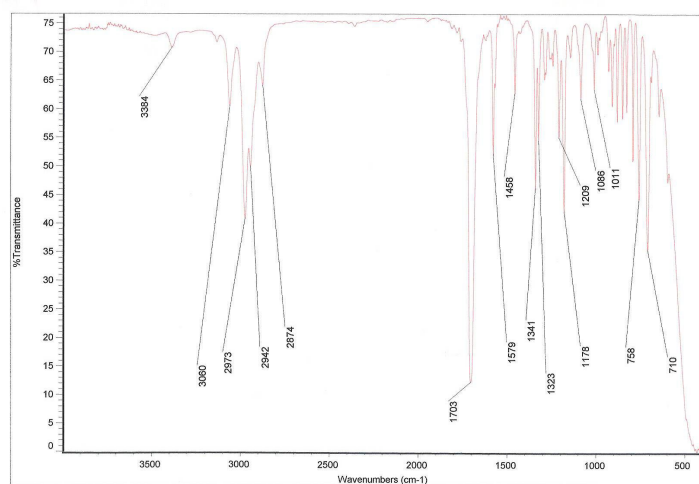
2D NOESY (400 MHz, CDCl₃)



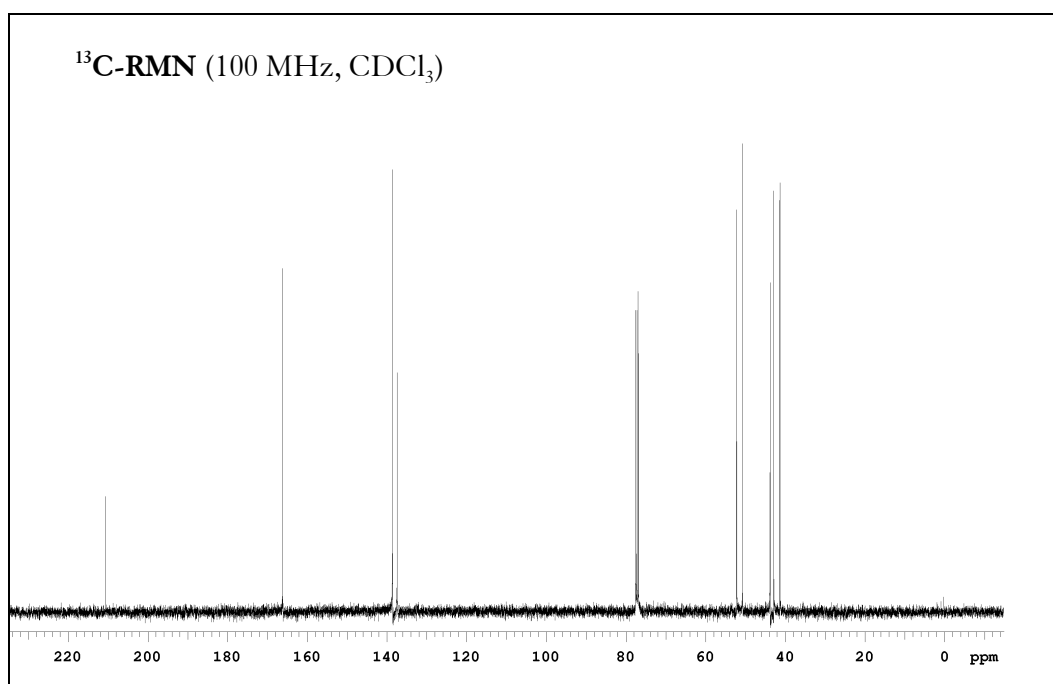
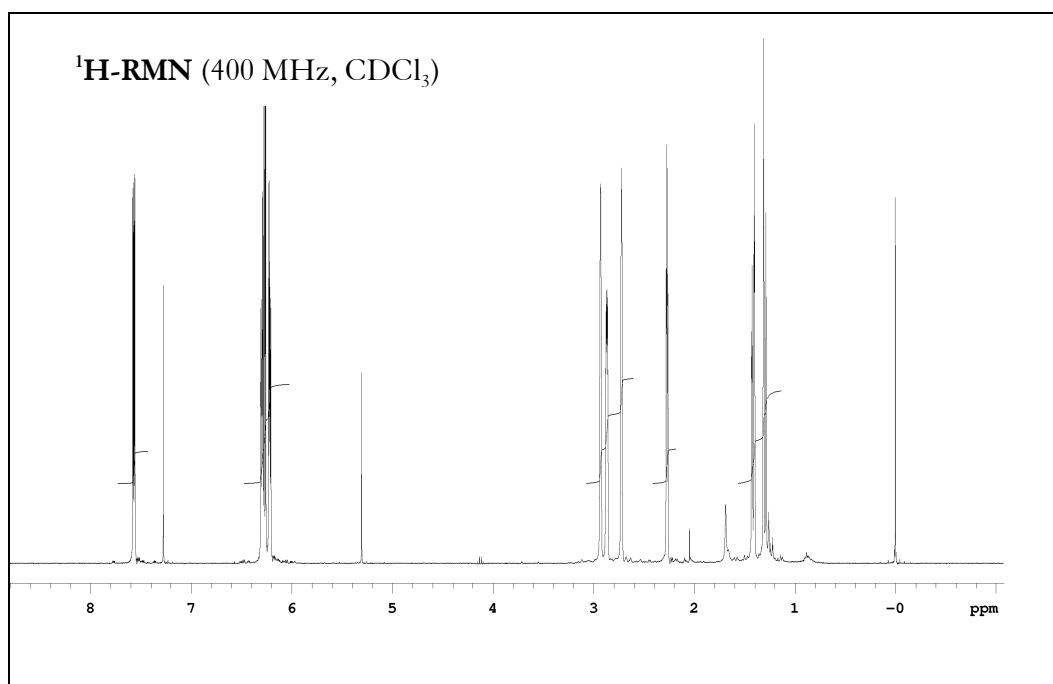
39

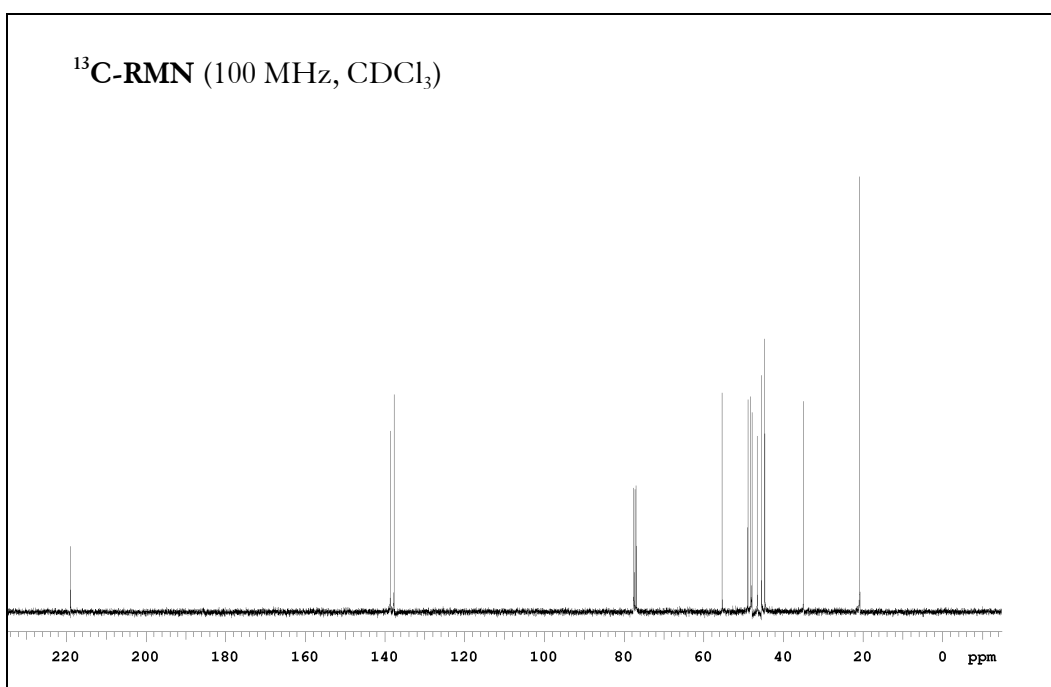
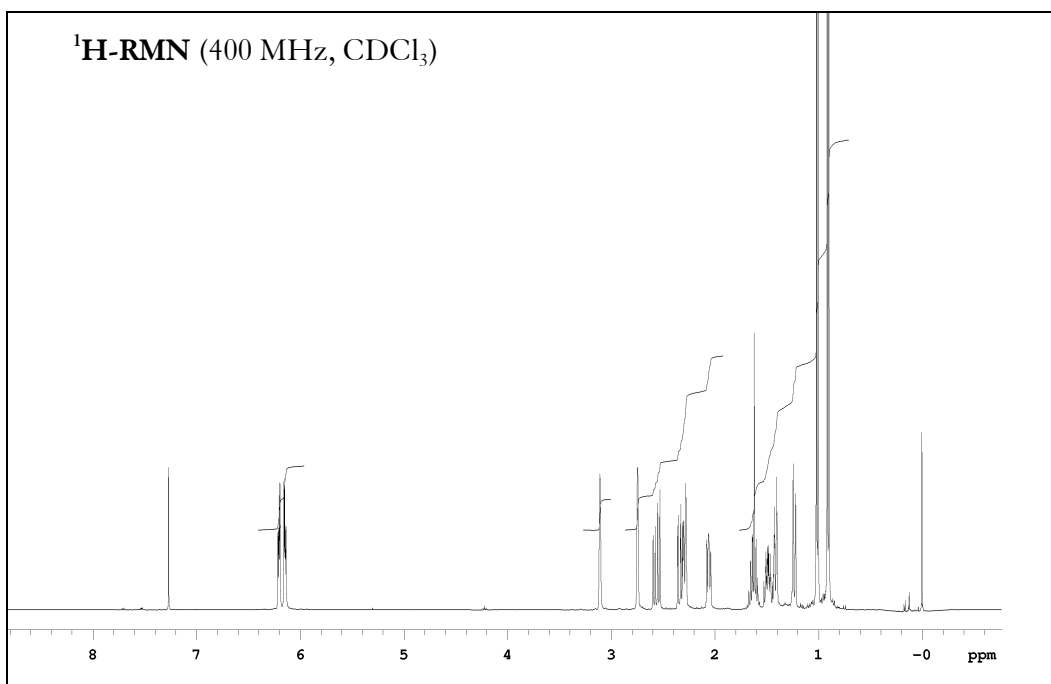
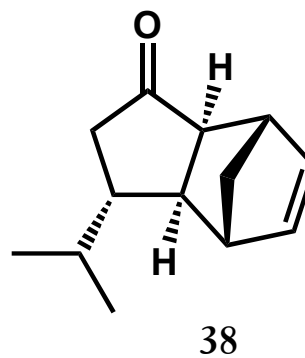
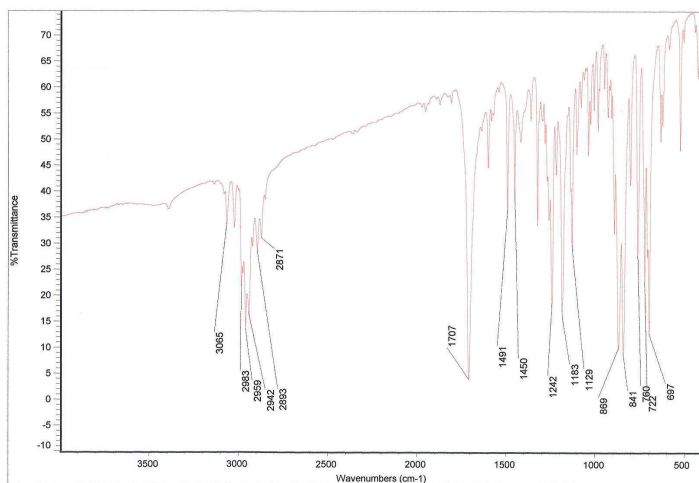


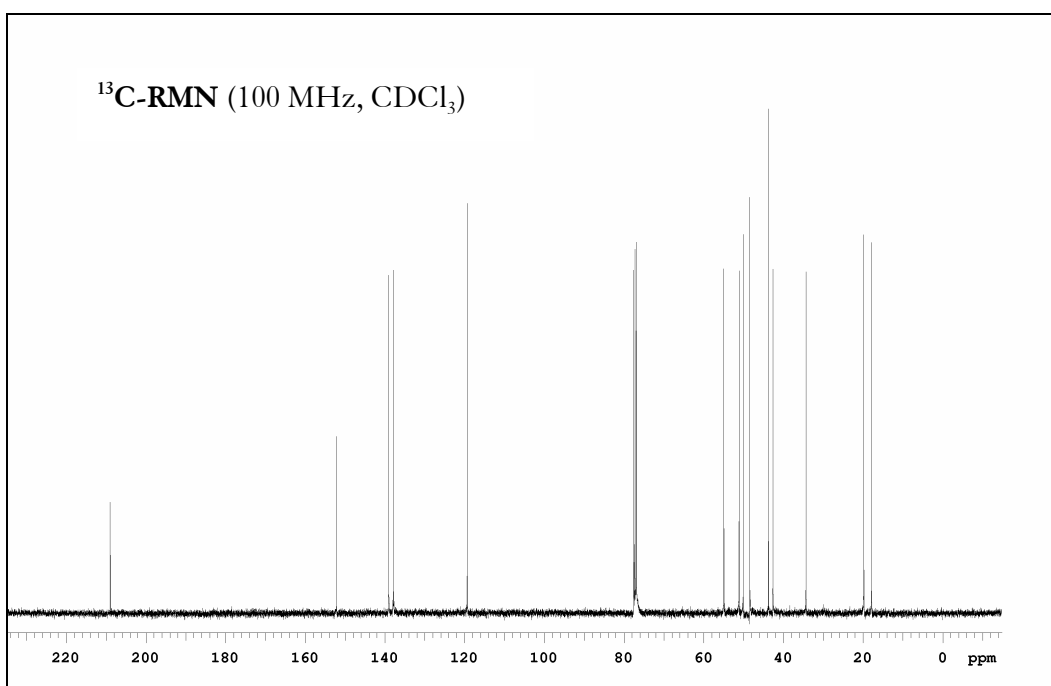
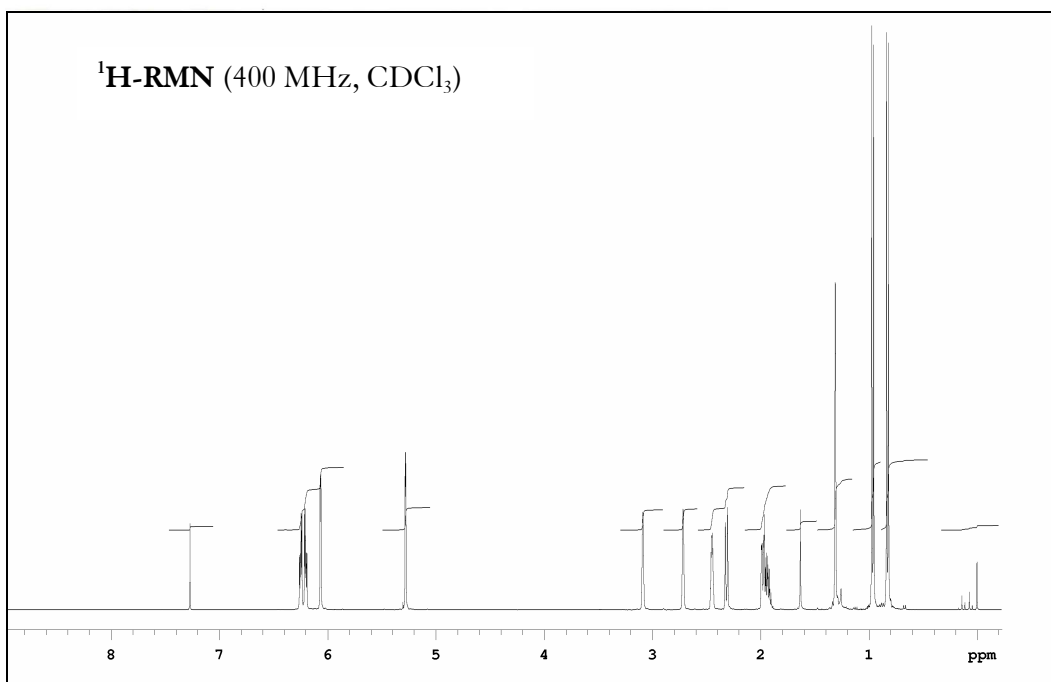
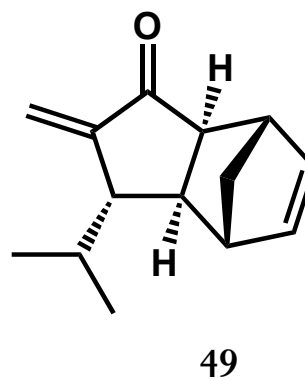
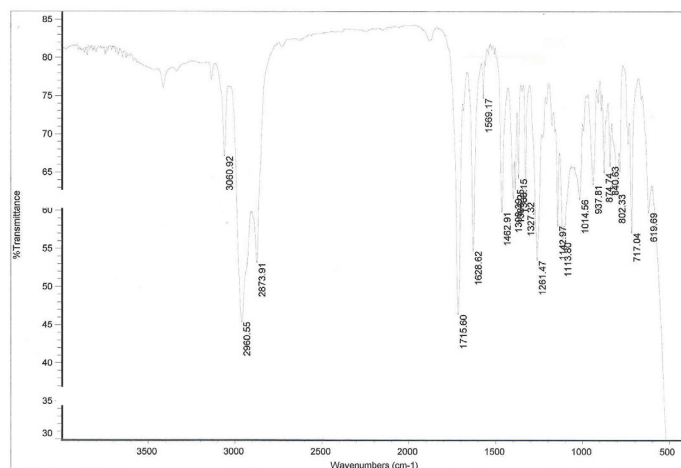
2D NOESY (400 MHz, CDCl₃)

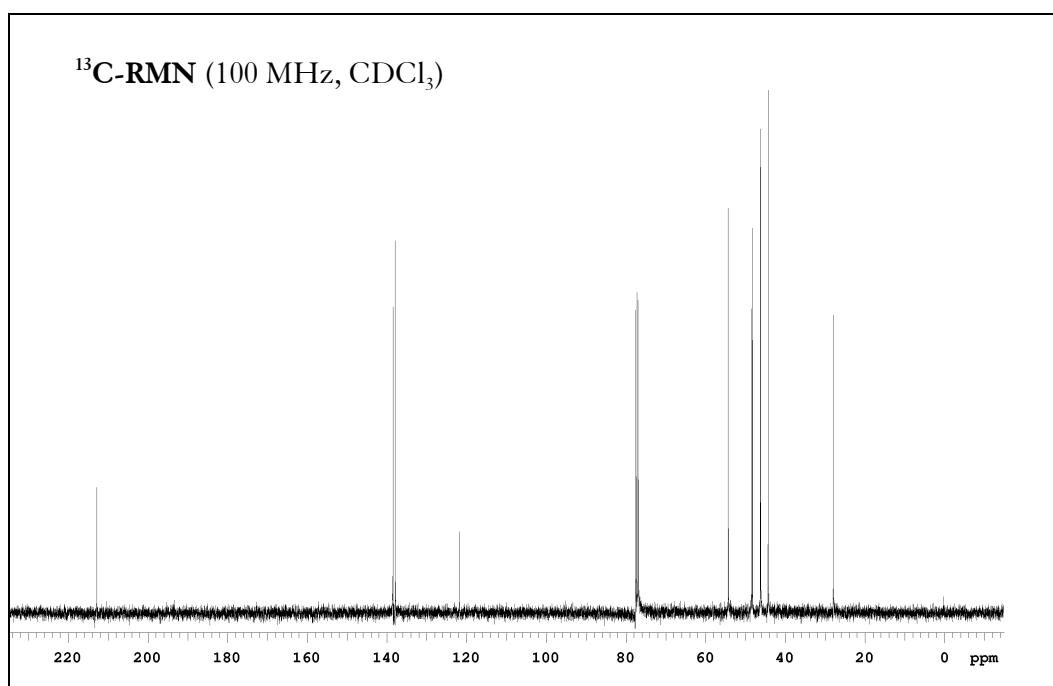
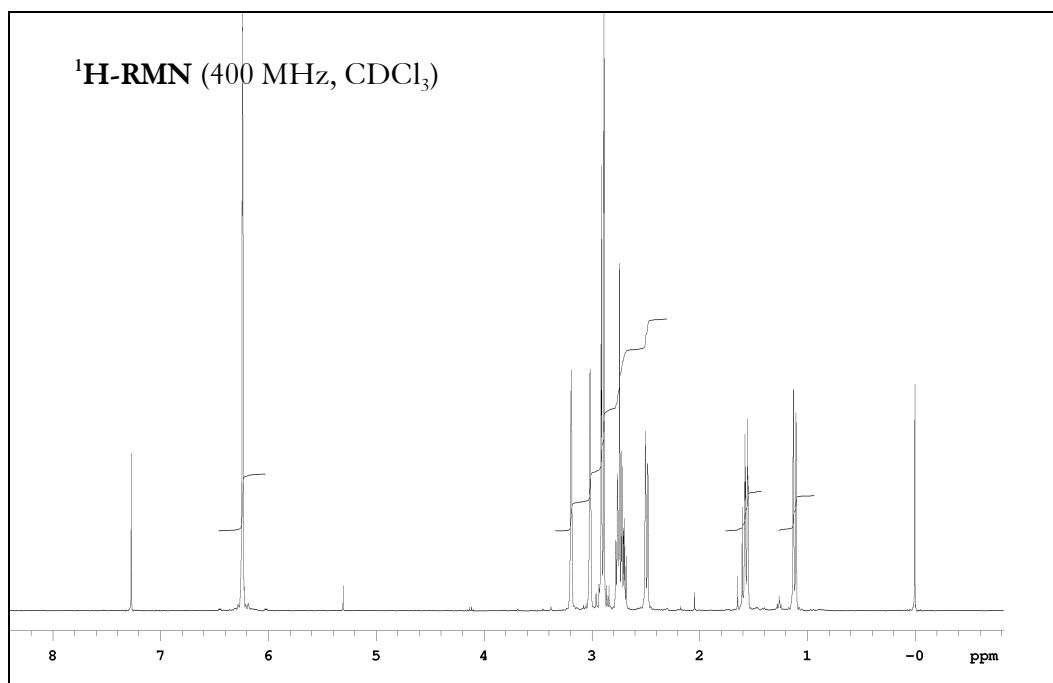
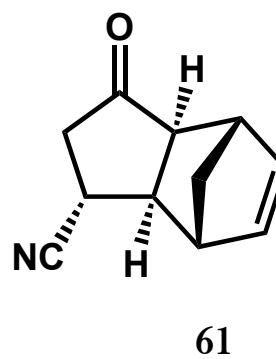
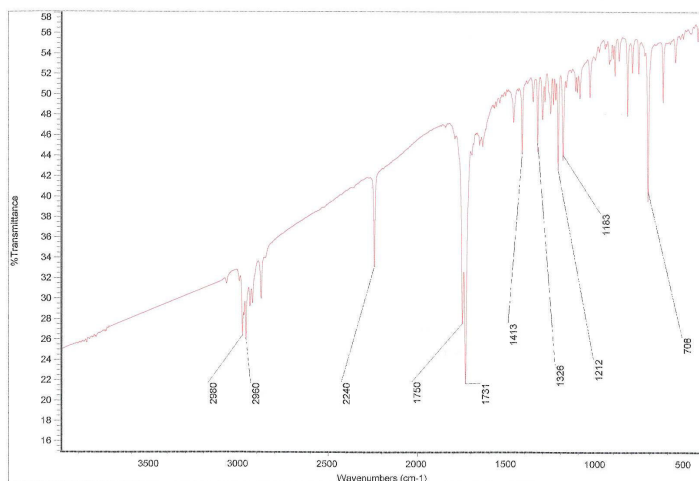


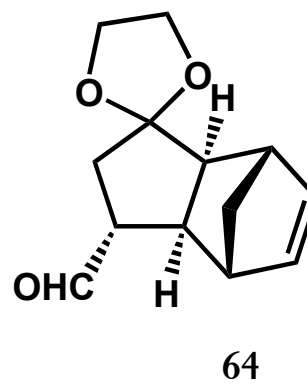
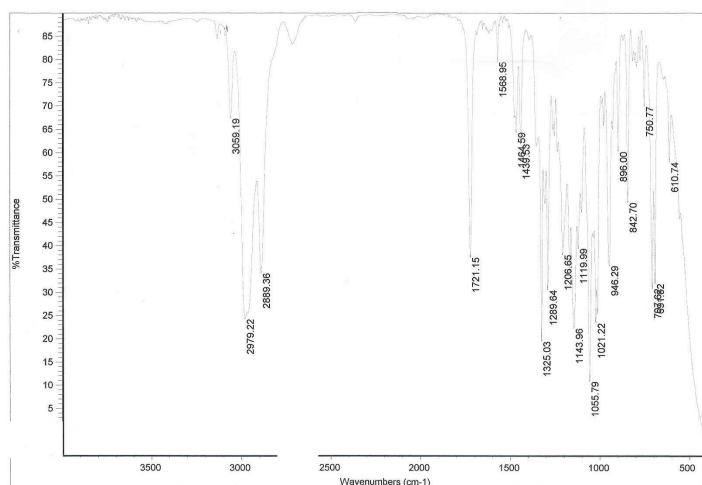
32



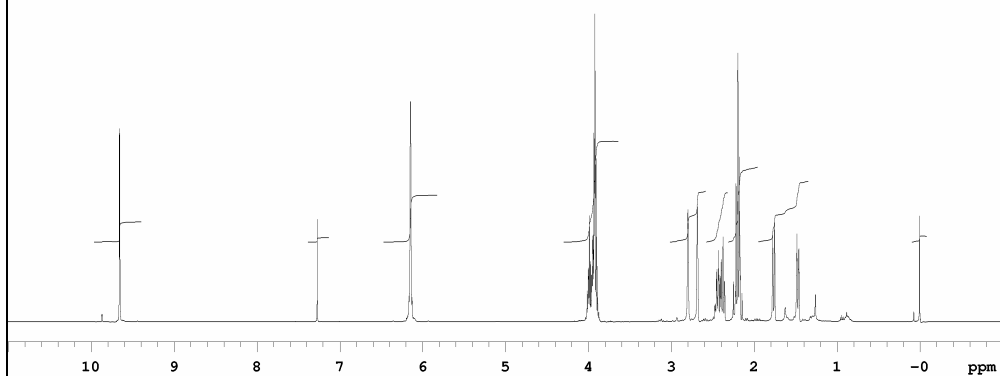




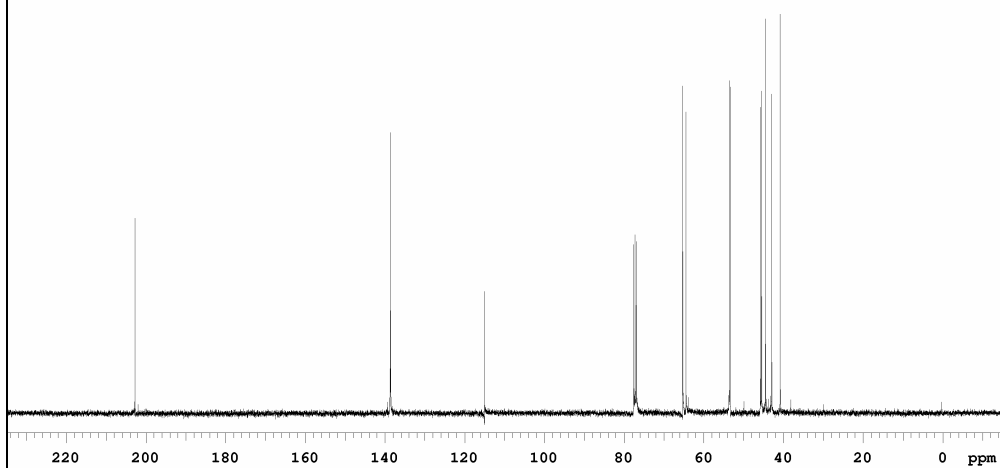


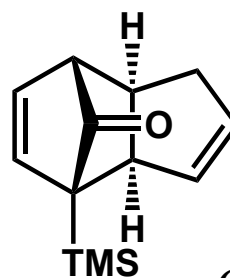
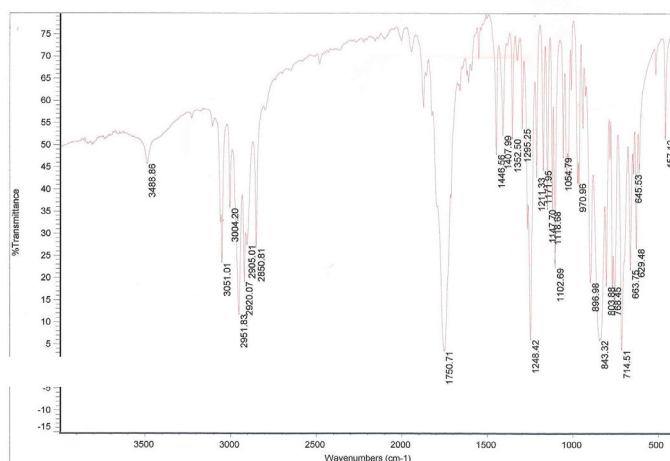


¹H-RMN (400 MHz, CDCl₃)

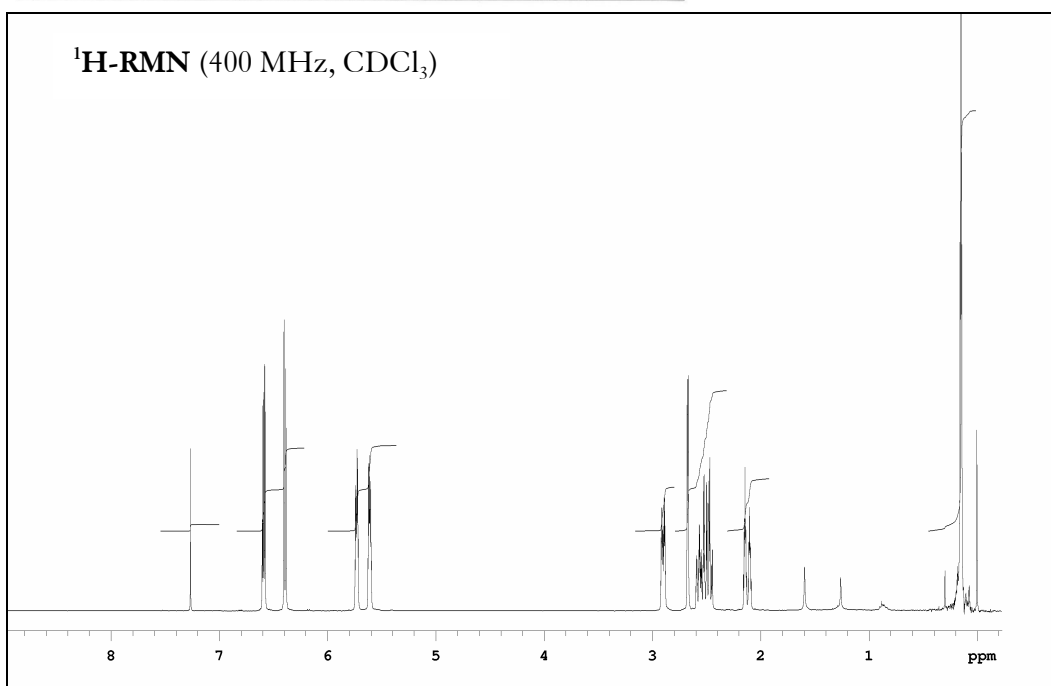
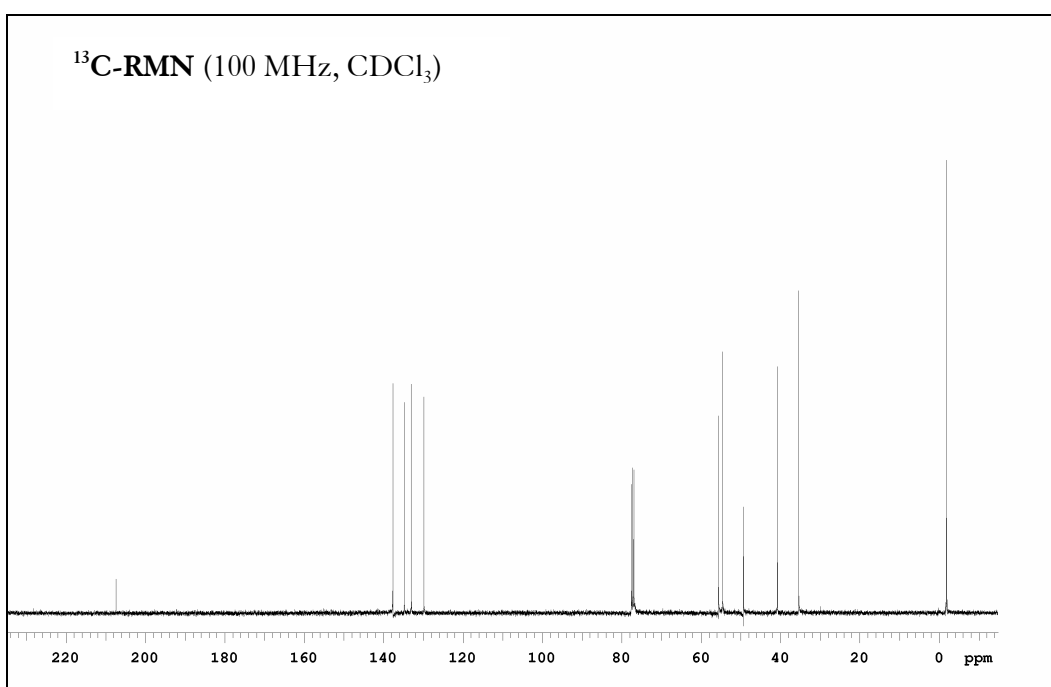


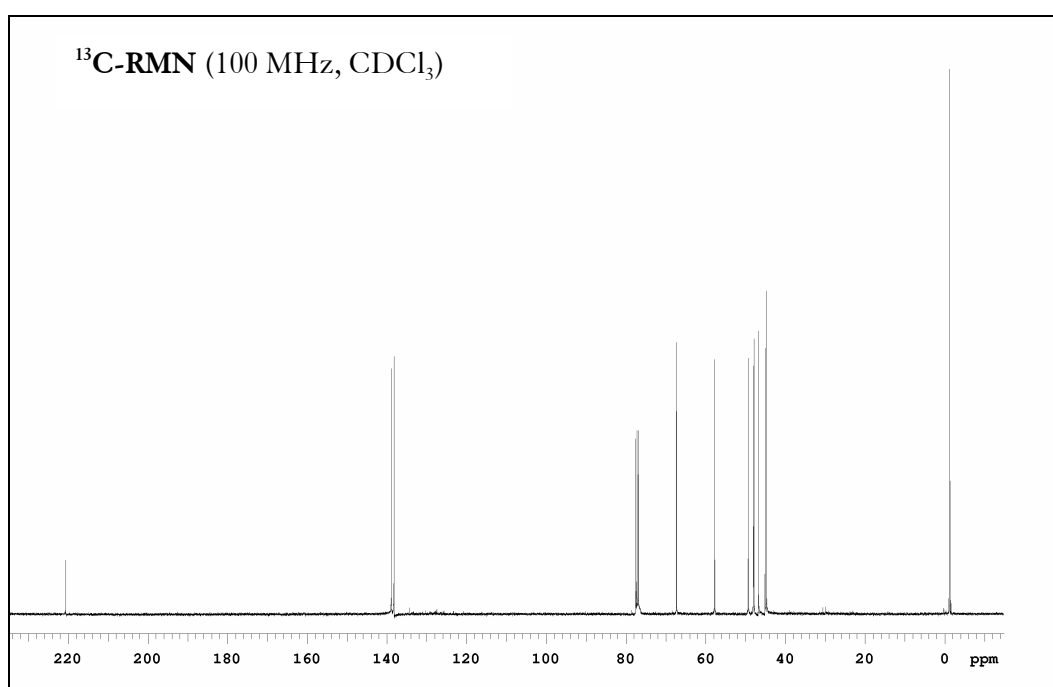
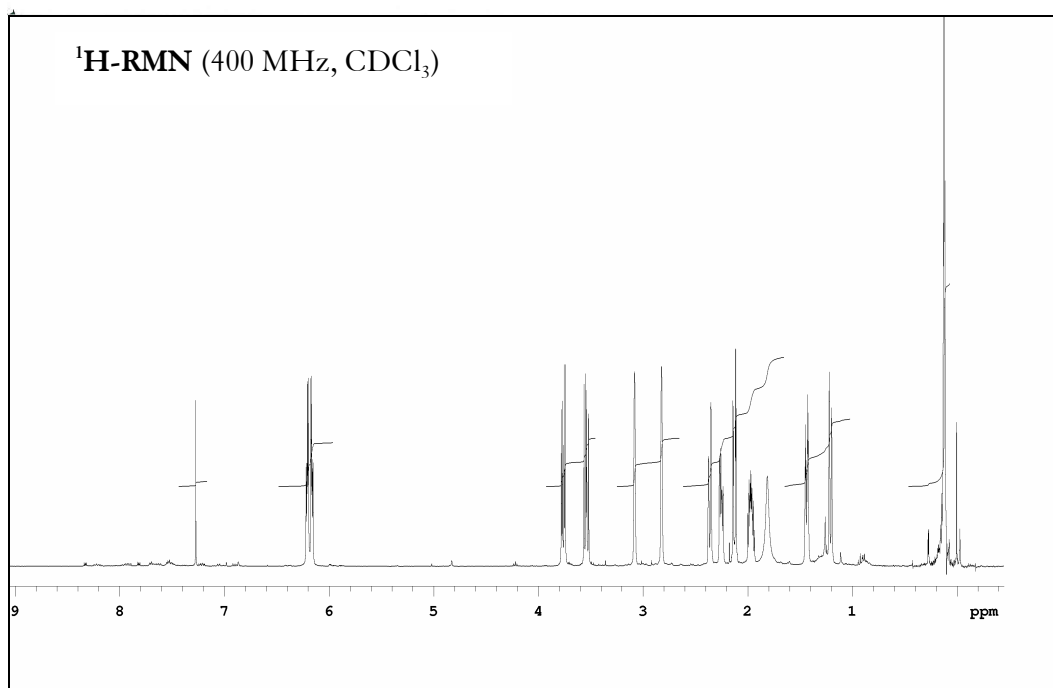
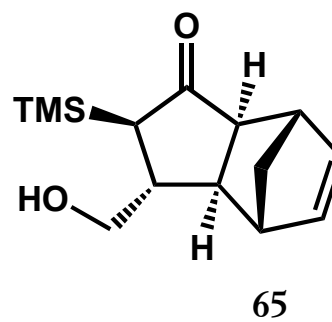
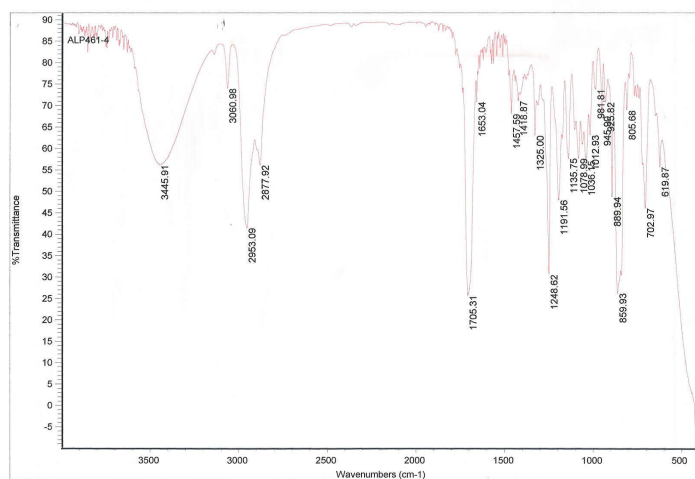
¹³C-RMN (100 MHz, CDCl₃)

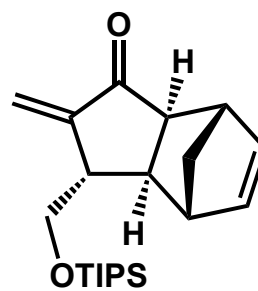
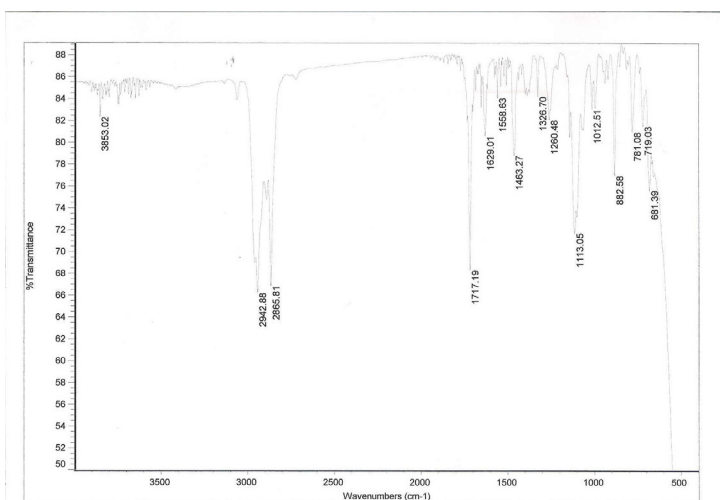




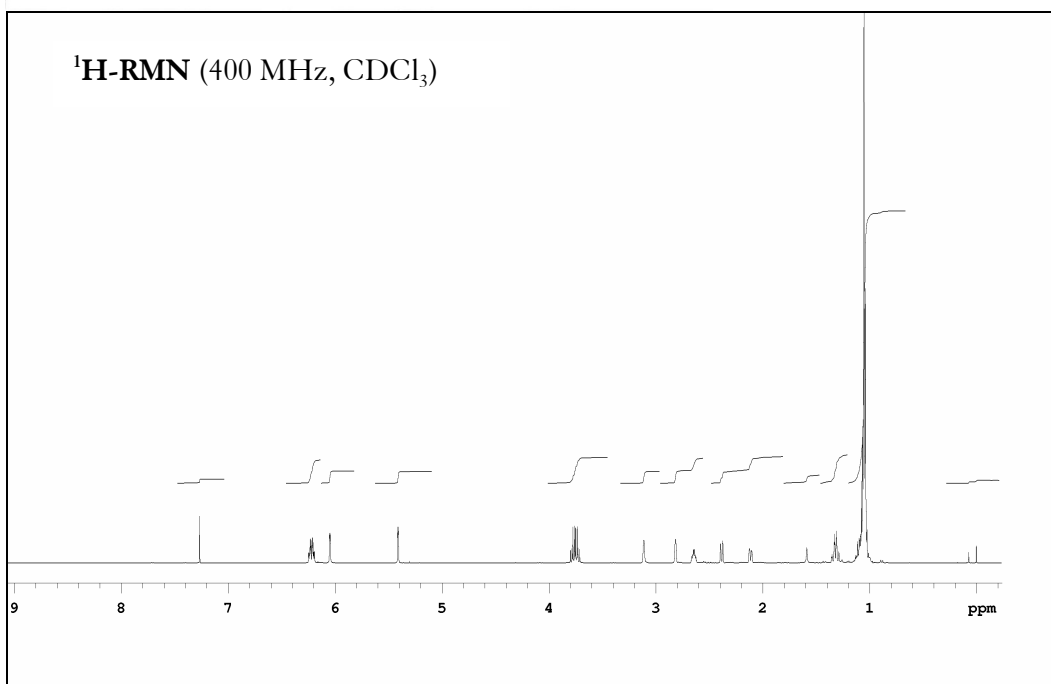
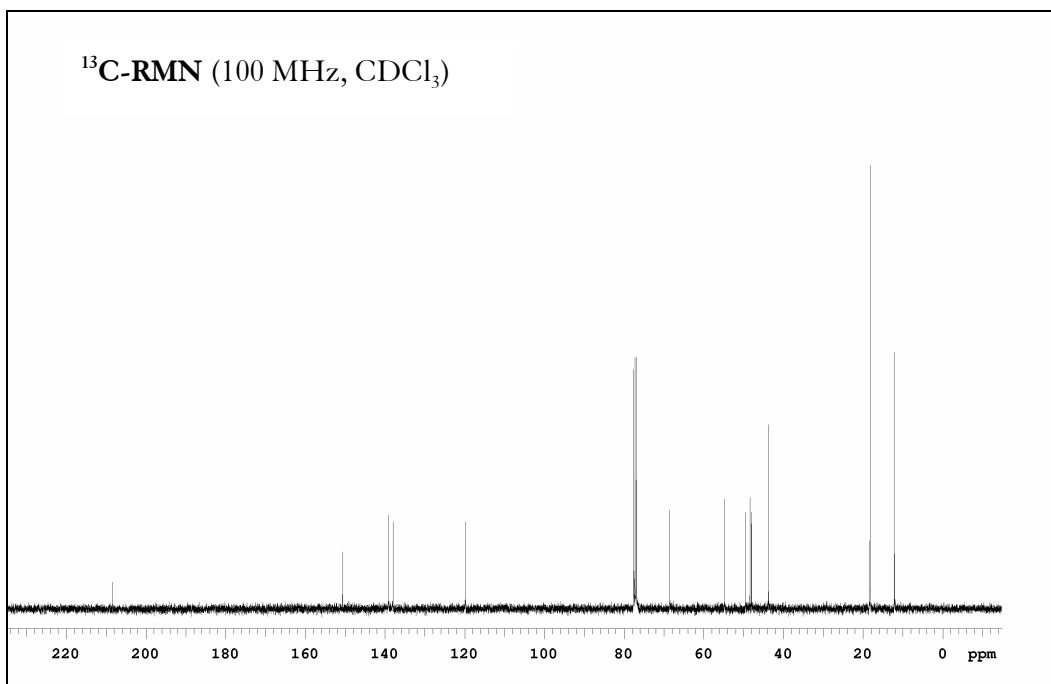
66

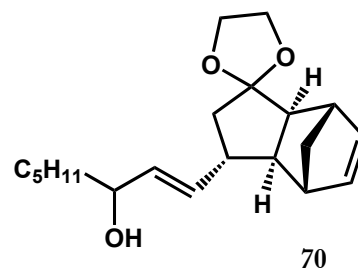
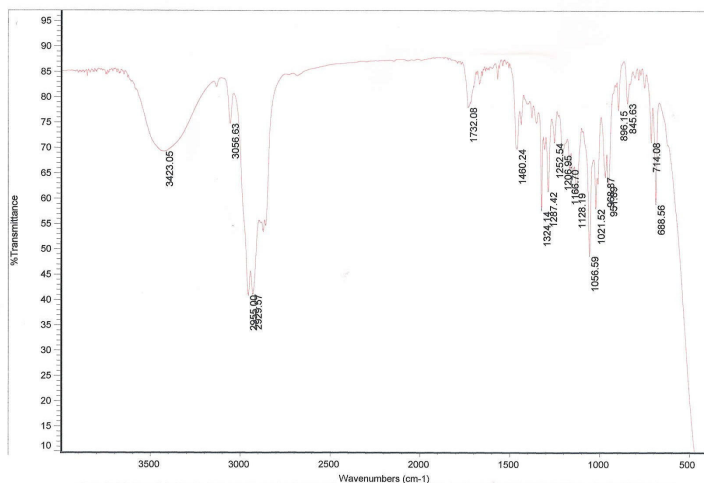
 $^1\text{H-RMN}$ (400 MHz, CDCl_3) $^{13}\text{C-RMN}$ (100 MHz, CDCl_3)



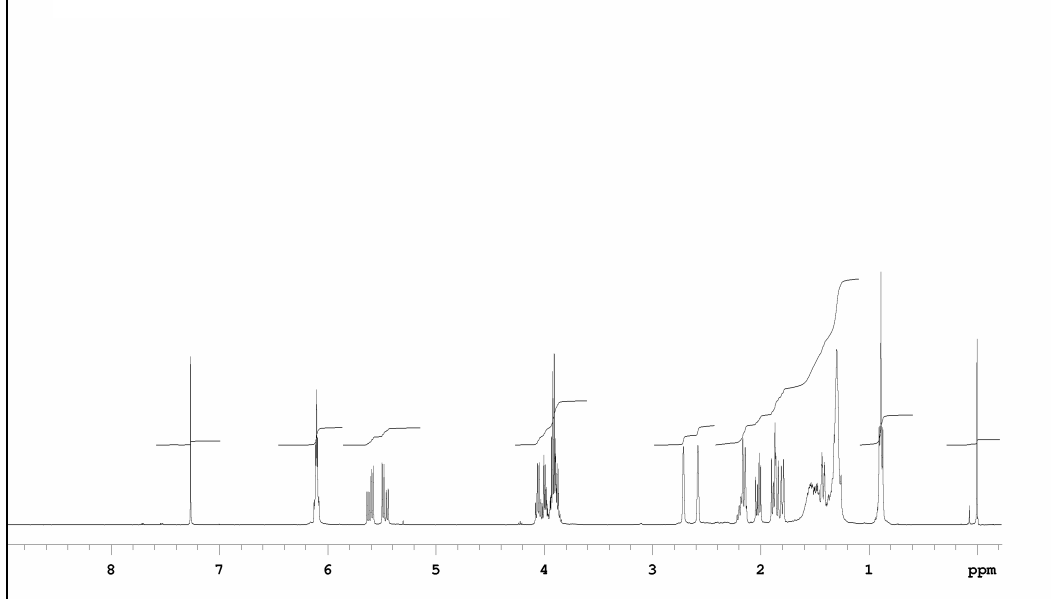


97

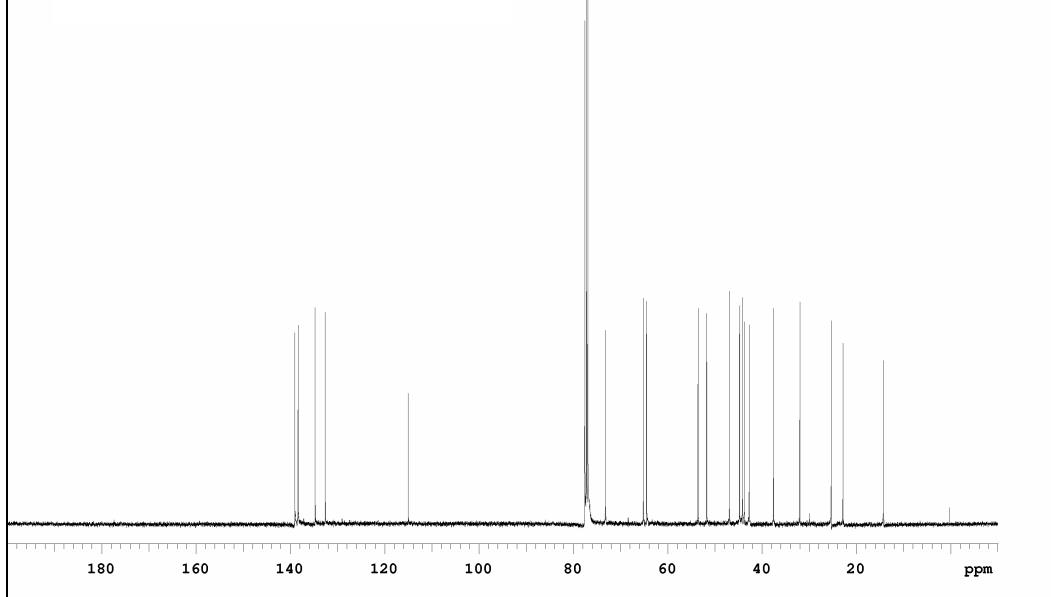
 $^1\text{H-RMN}$ (400 MHz, CDCl_3) $^{13}\text{C-RMN}$ (100 MHz, CDCl_3)

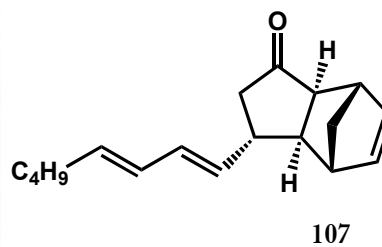
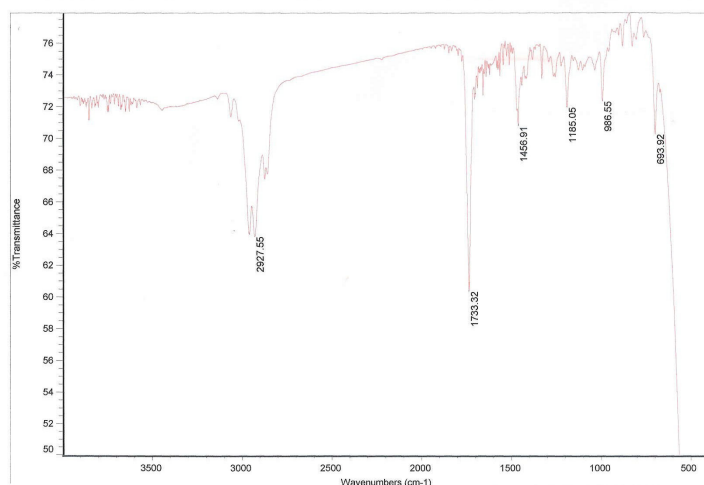


$^1\text{H-RMN}$ (400 MHz, CDCl_3)

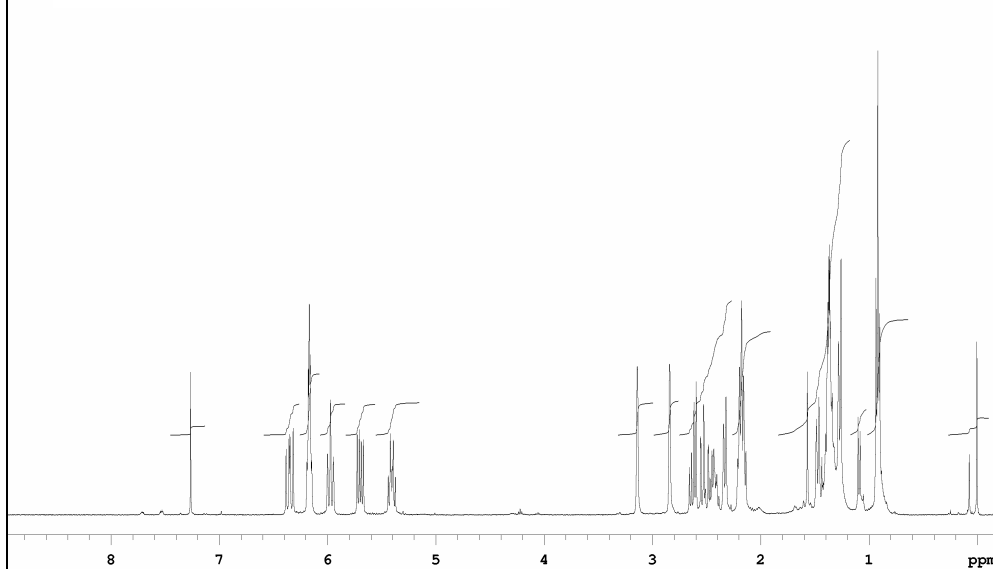


$^{13}\text{C-RMN}$ (100 MHz, CDCl_3)

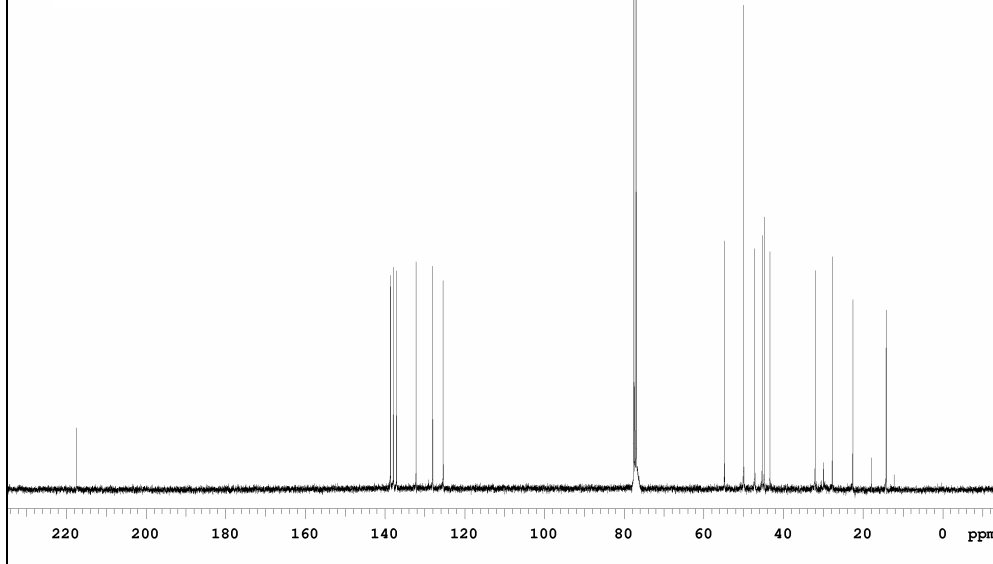


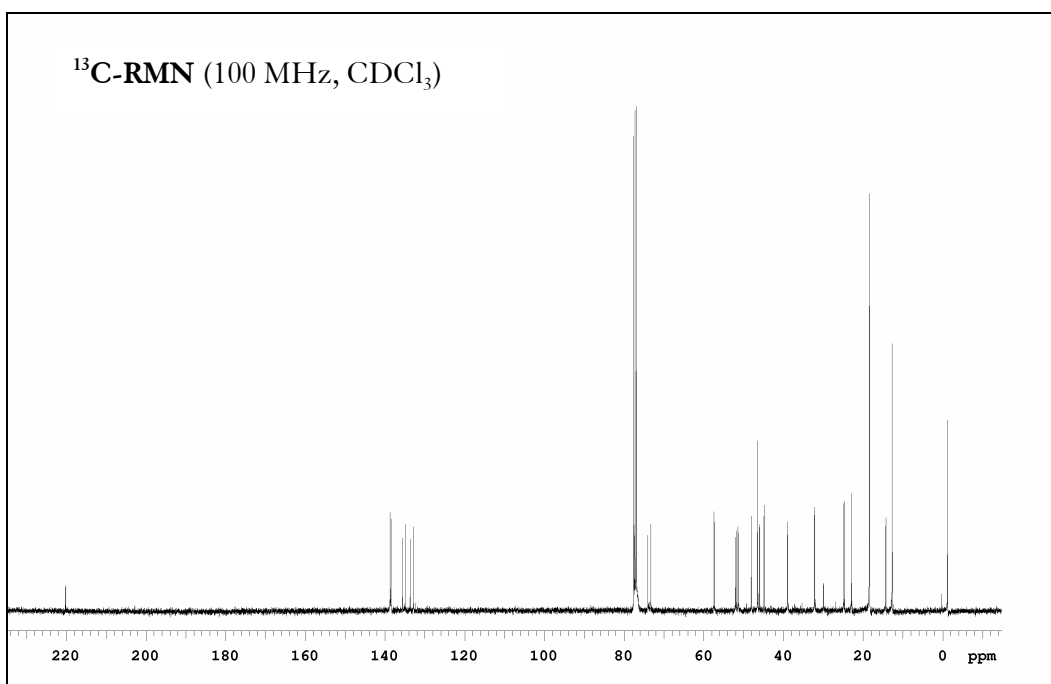
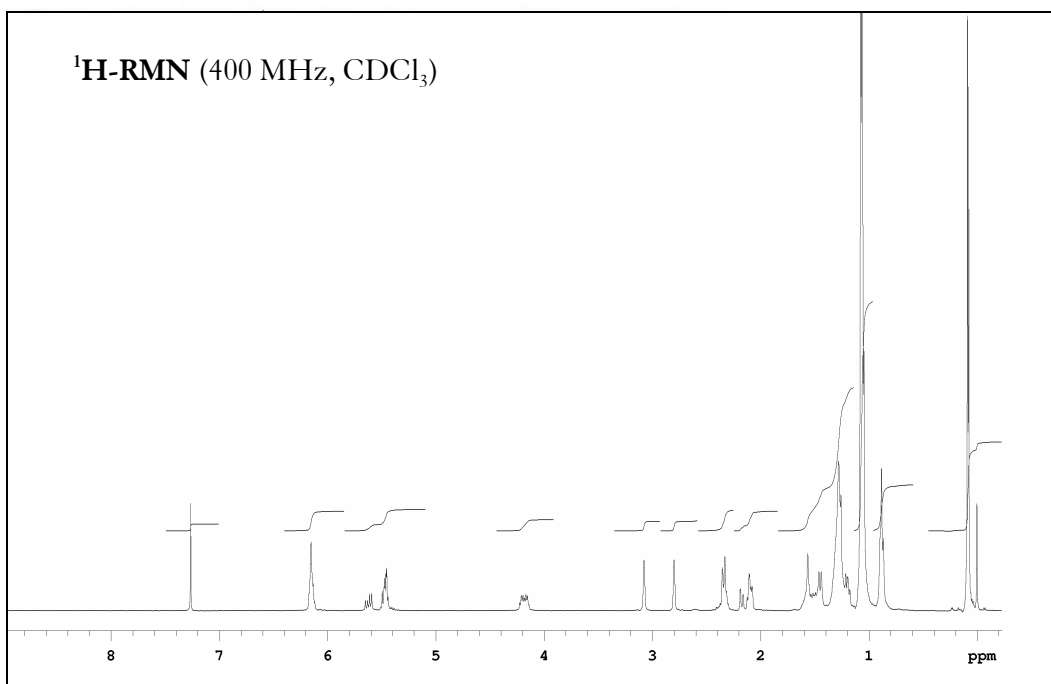
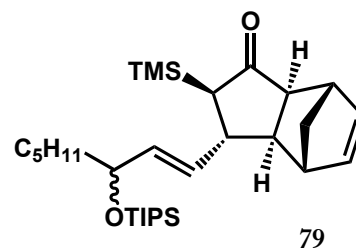
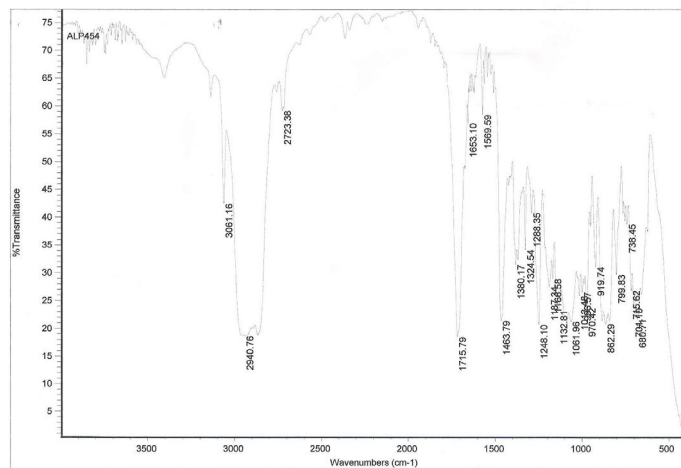


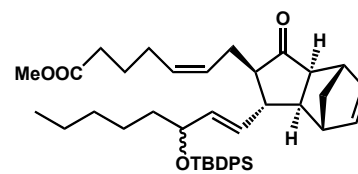
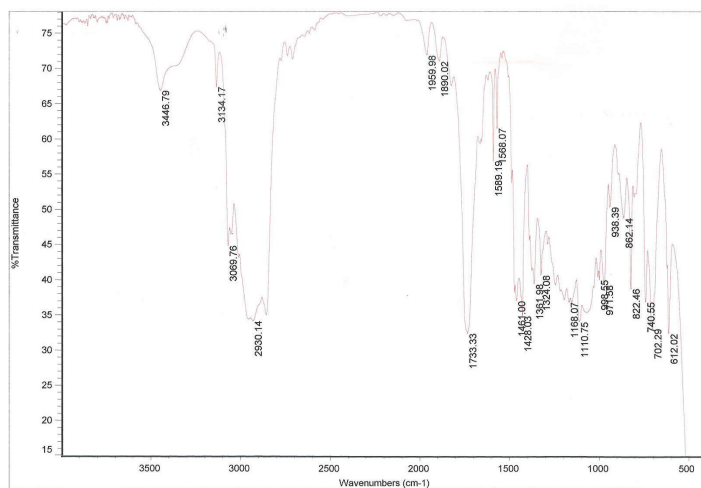
¹H-RMN (400 MHz, CDCl₃)



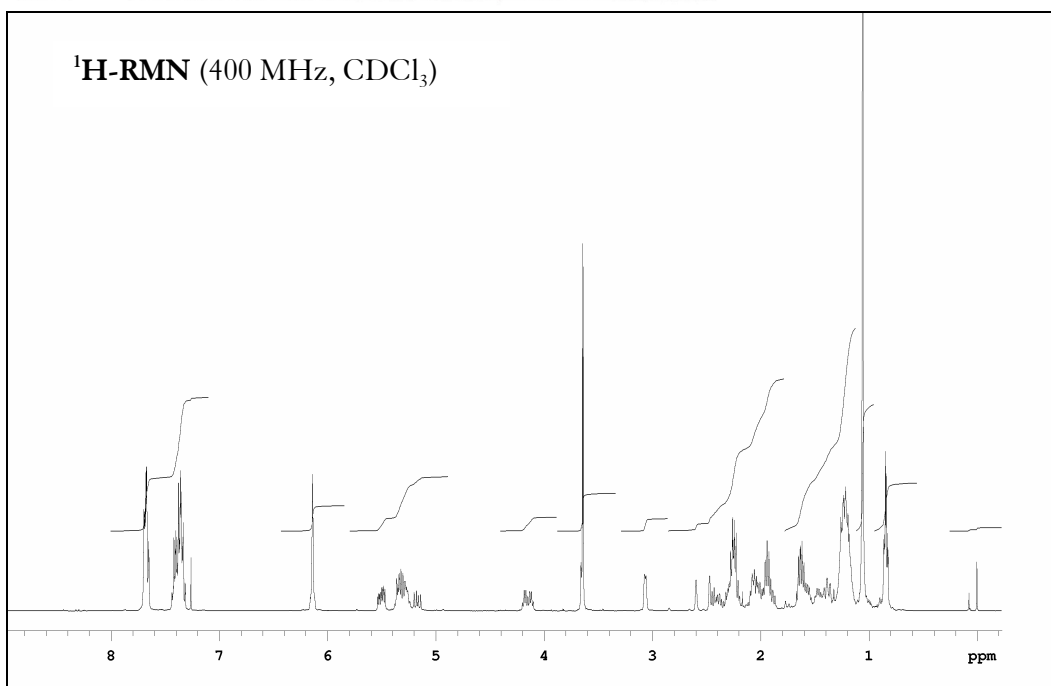
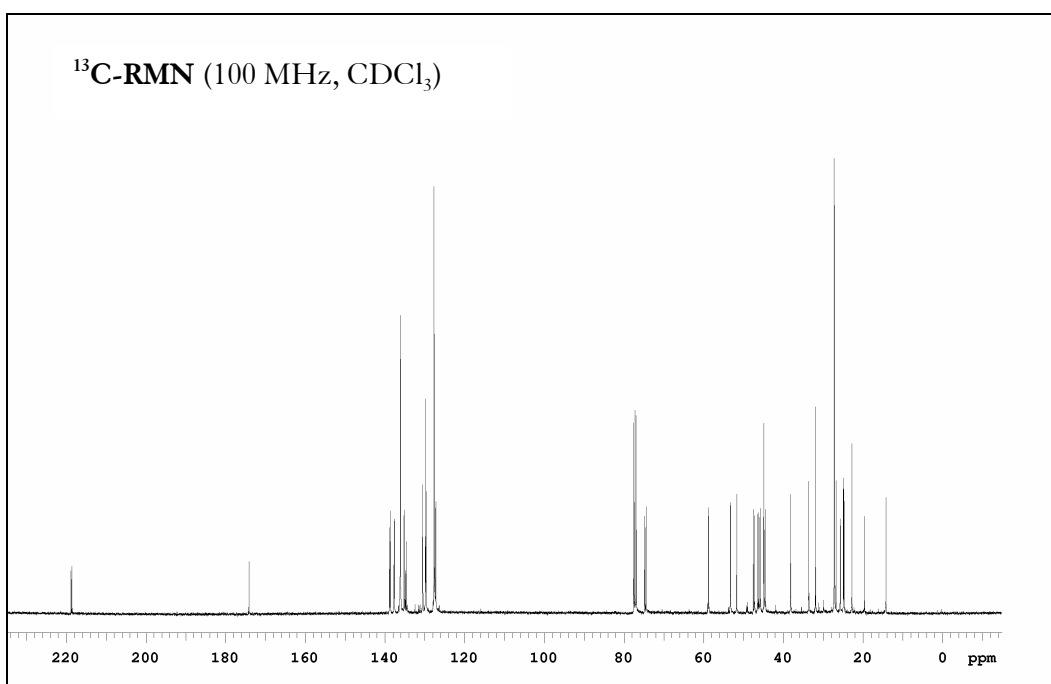
¹³C-RMN (100 MHz, CDCl₃)

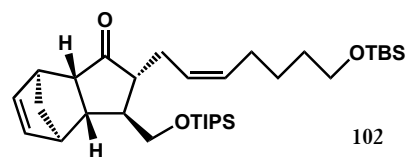
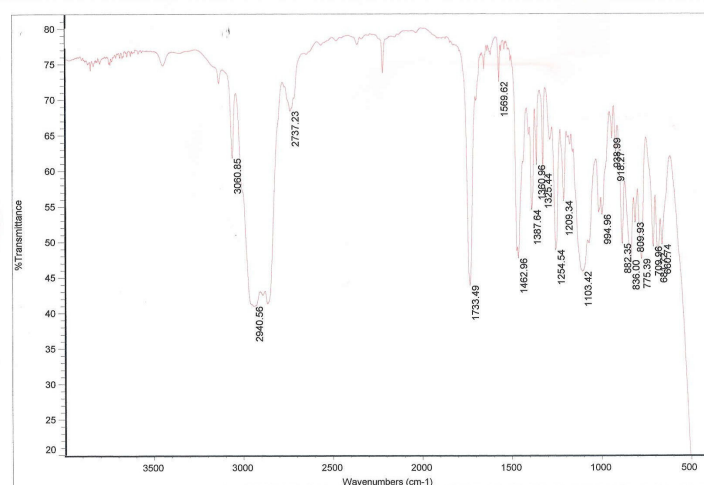
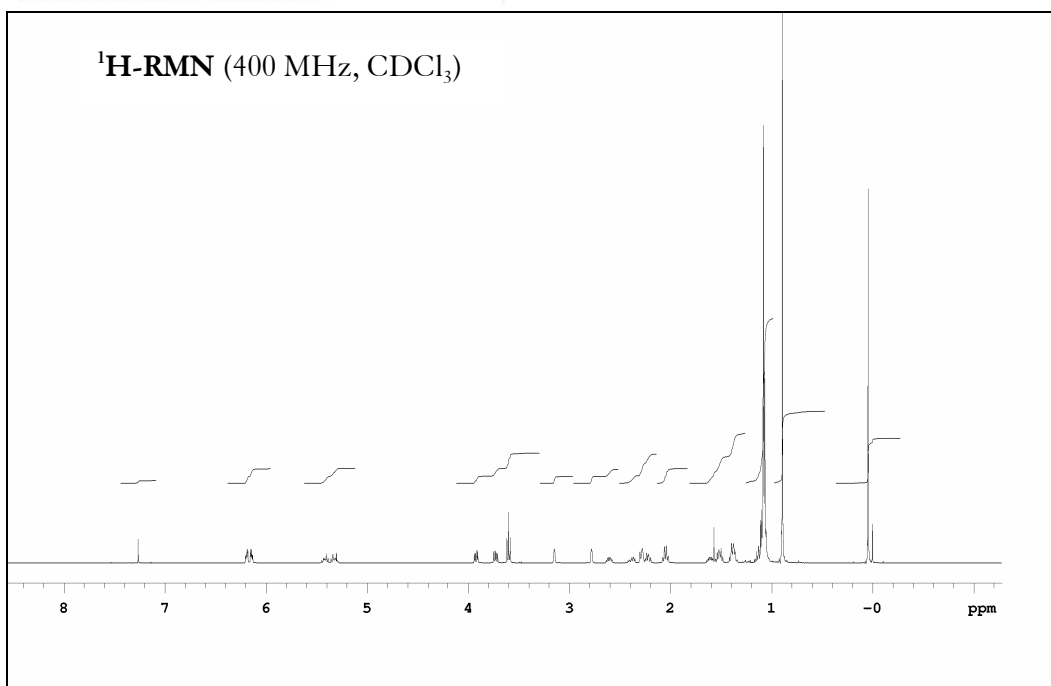
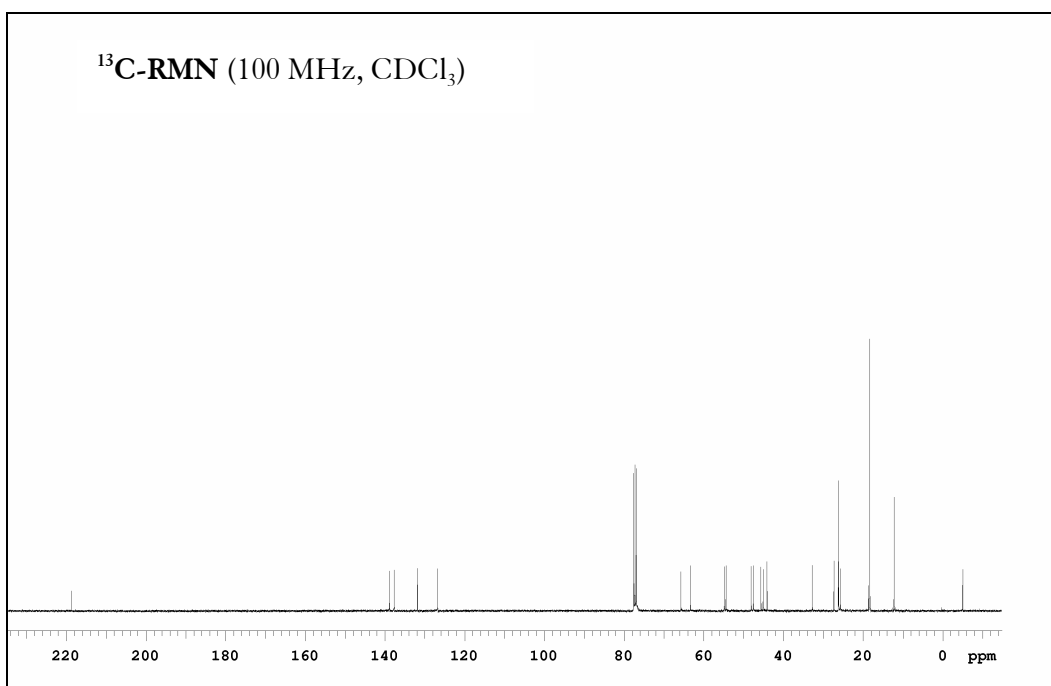


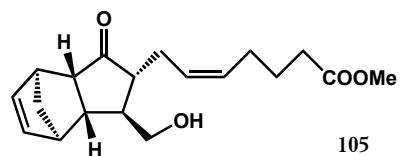
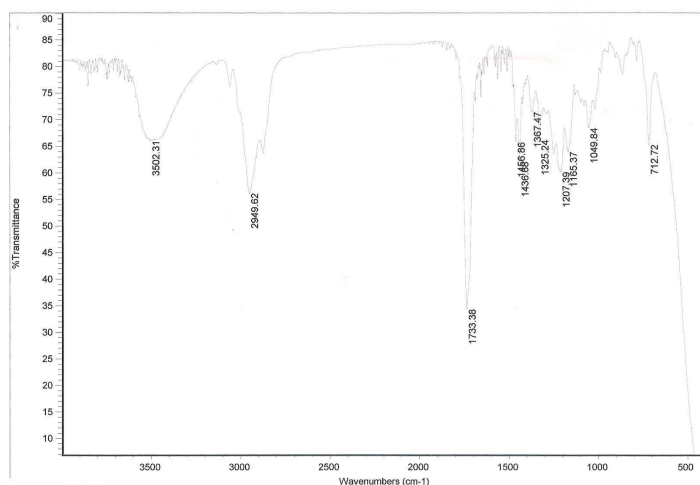




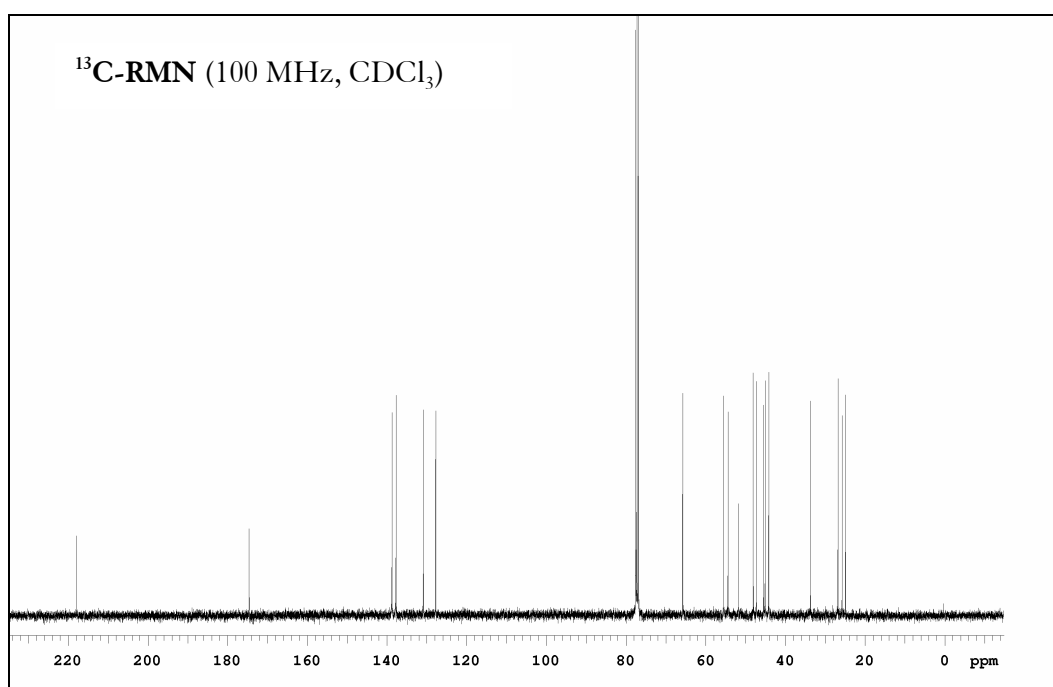
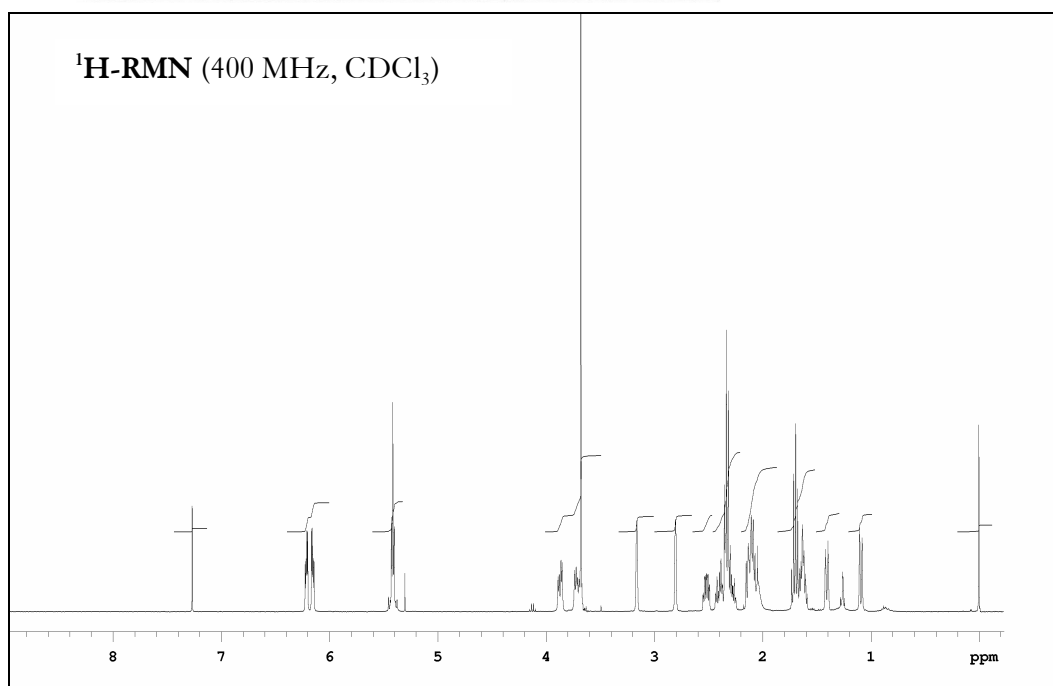
92

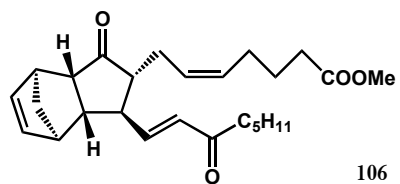
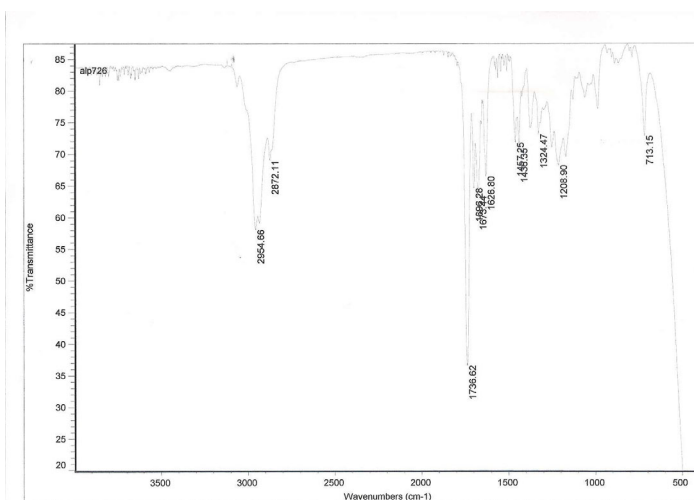
¹H-RMN (400 MHz, CDCl₃)¹³C-RMN (100 MHz, CDCl₃)

 ^1H -RMN (400 MHz, CDCl_3) ^{13}C -RMN (100 MHz, CDCl_3)

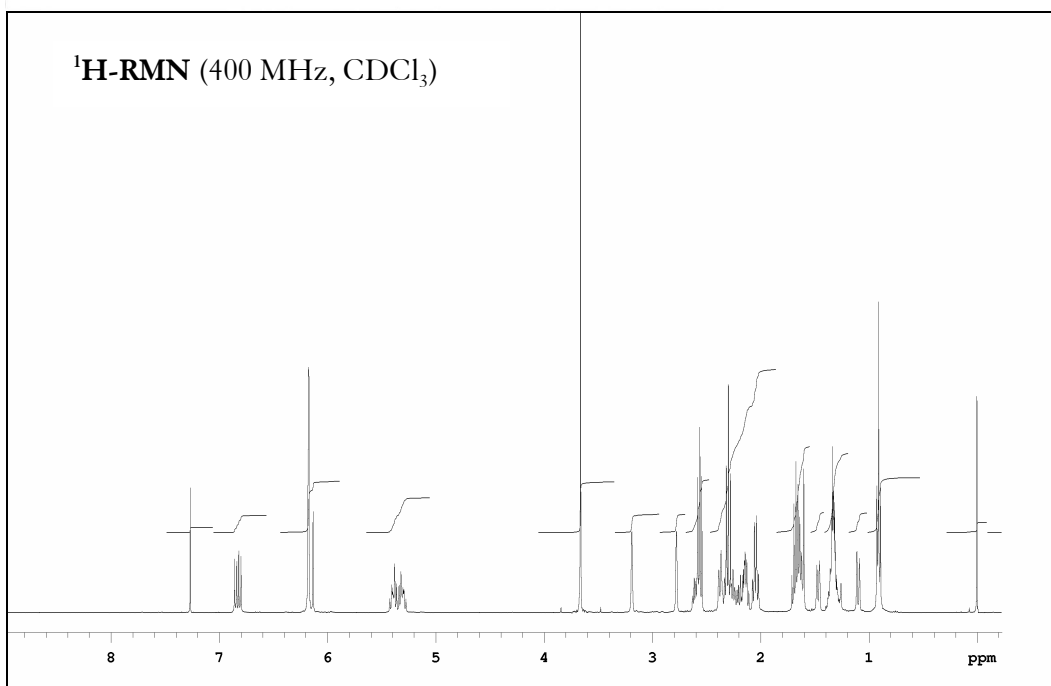
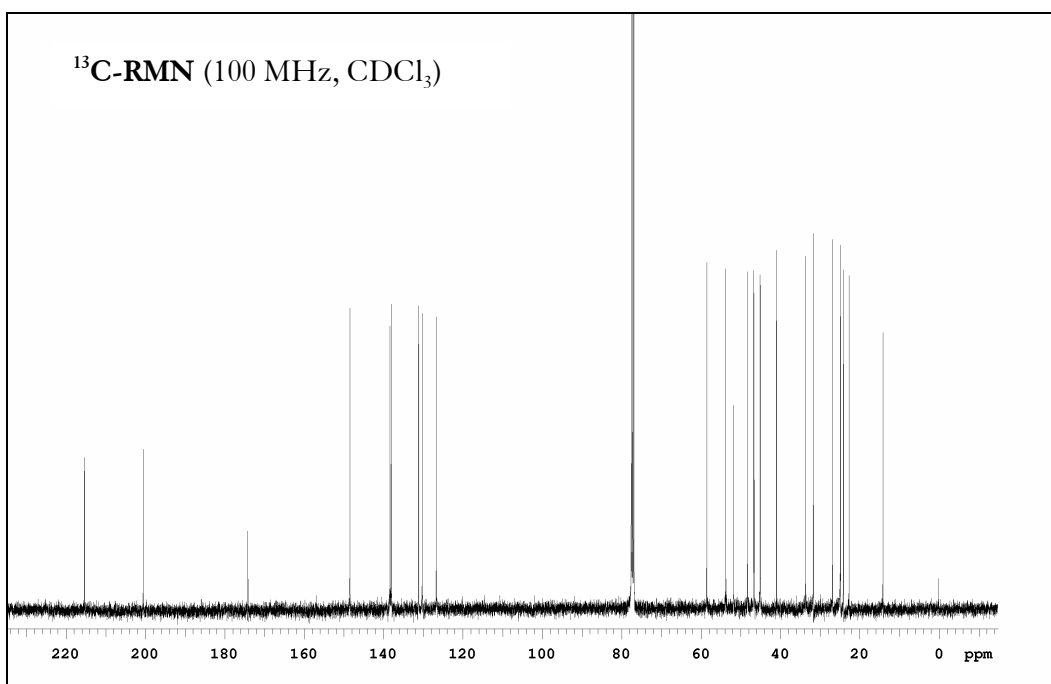


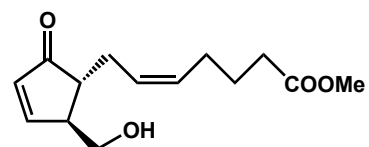
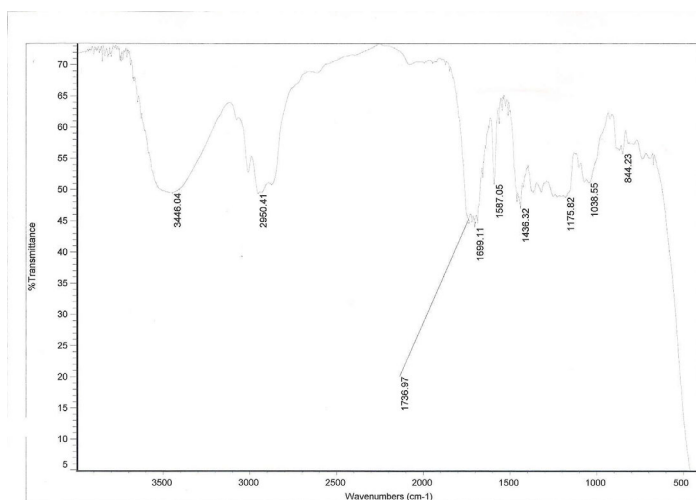
105



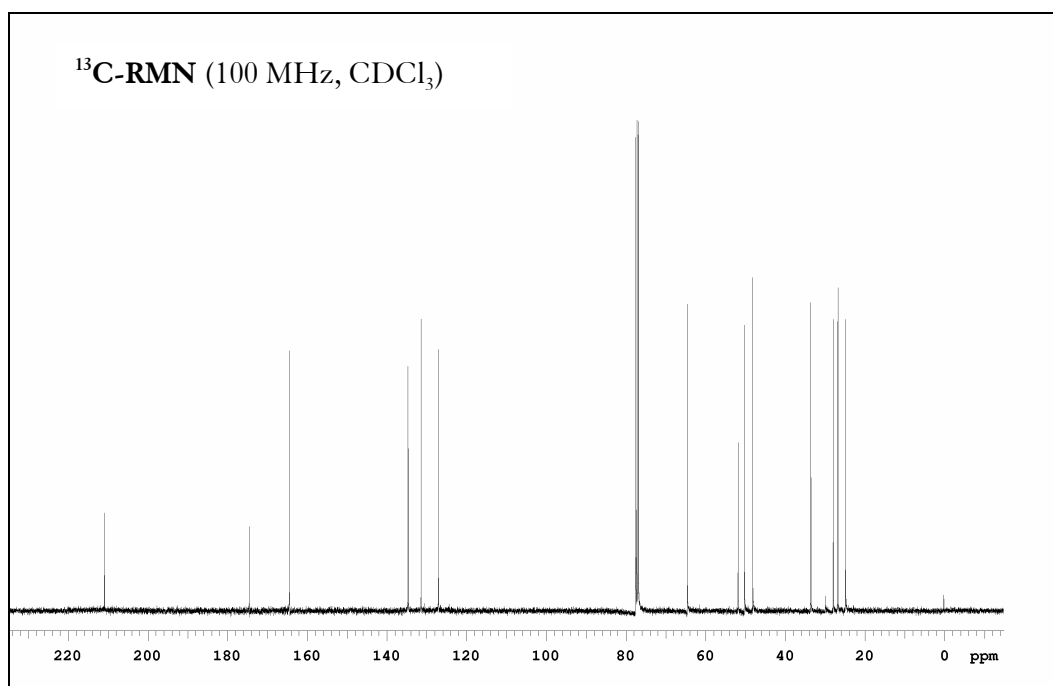
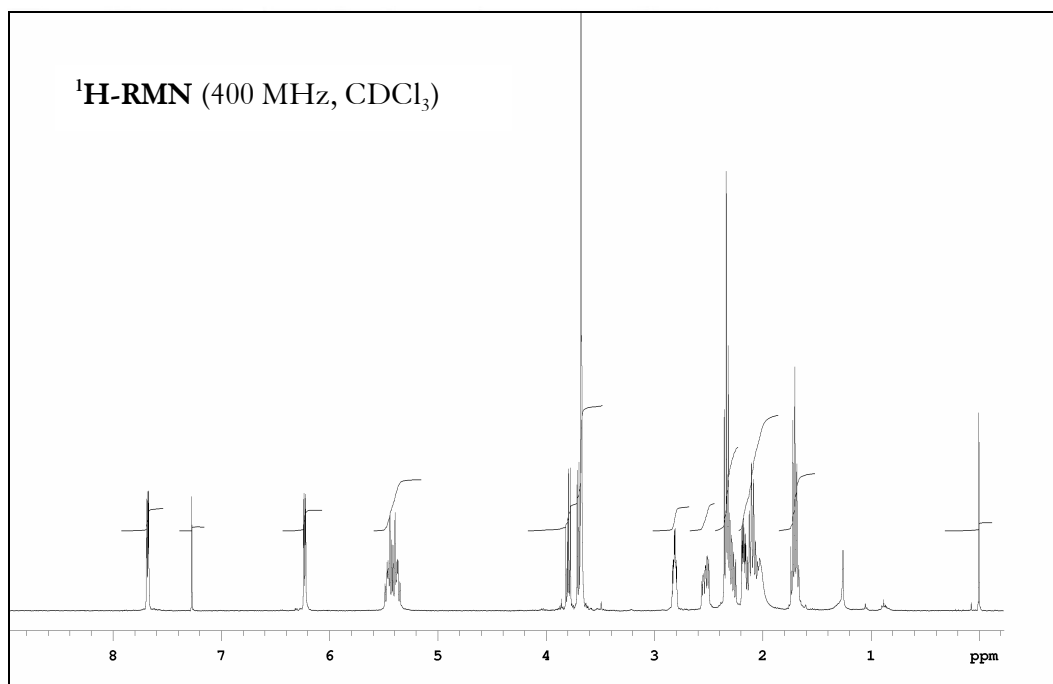


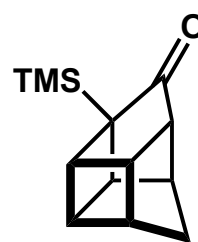
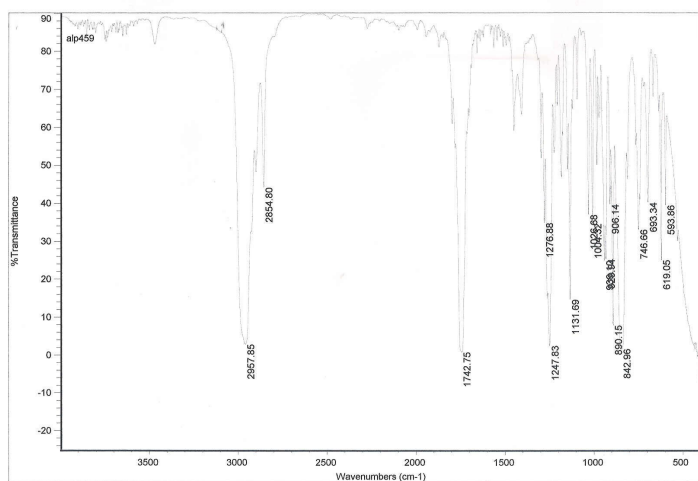
106

¹H-RMN (400 MHz, CDCl₃)¹³C-RMN (100 MHz, CDCl₃)



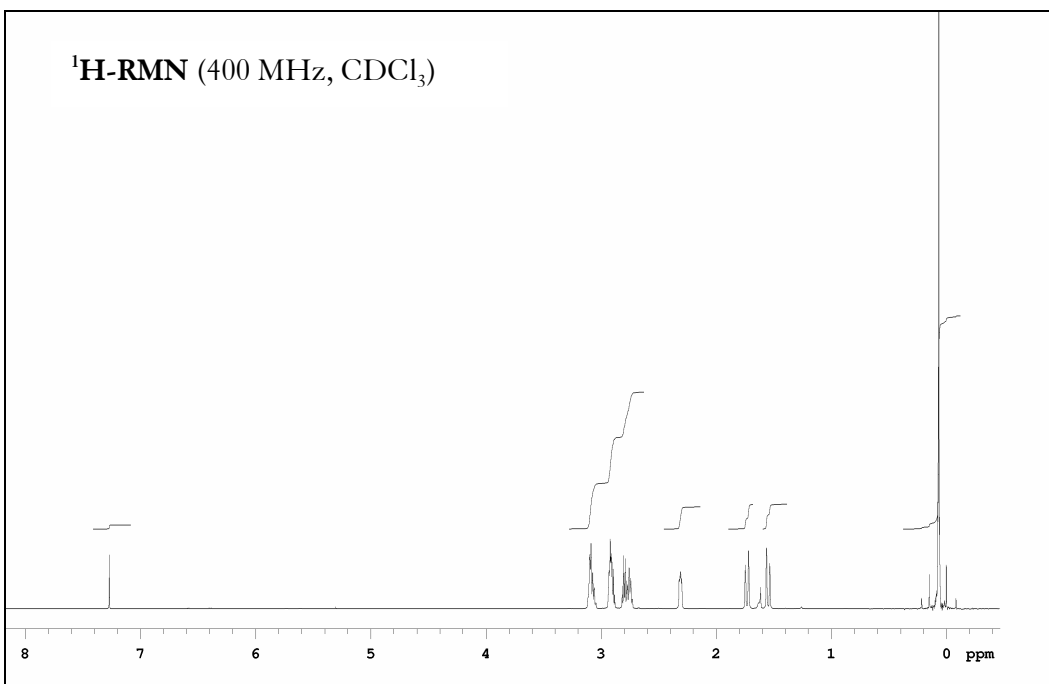
111





132

¹H-RMN (400 MHz, CDCl₃)



¹³C-RMN (100 MHz, CDCl₃)

